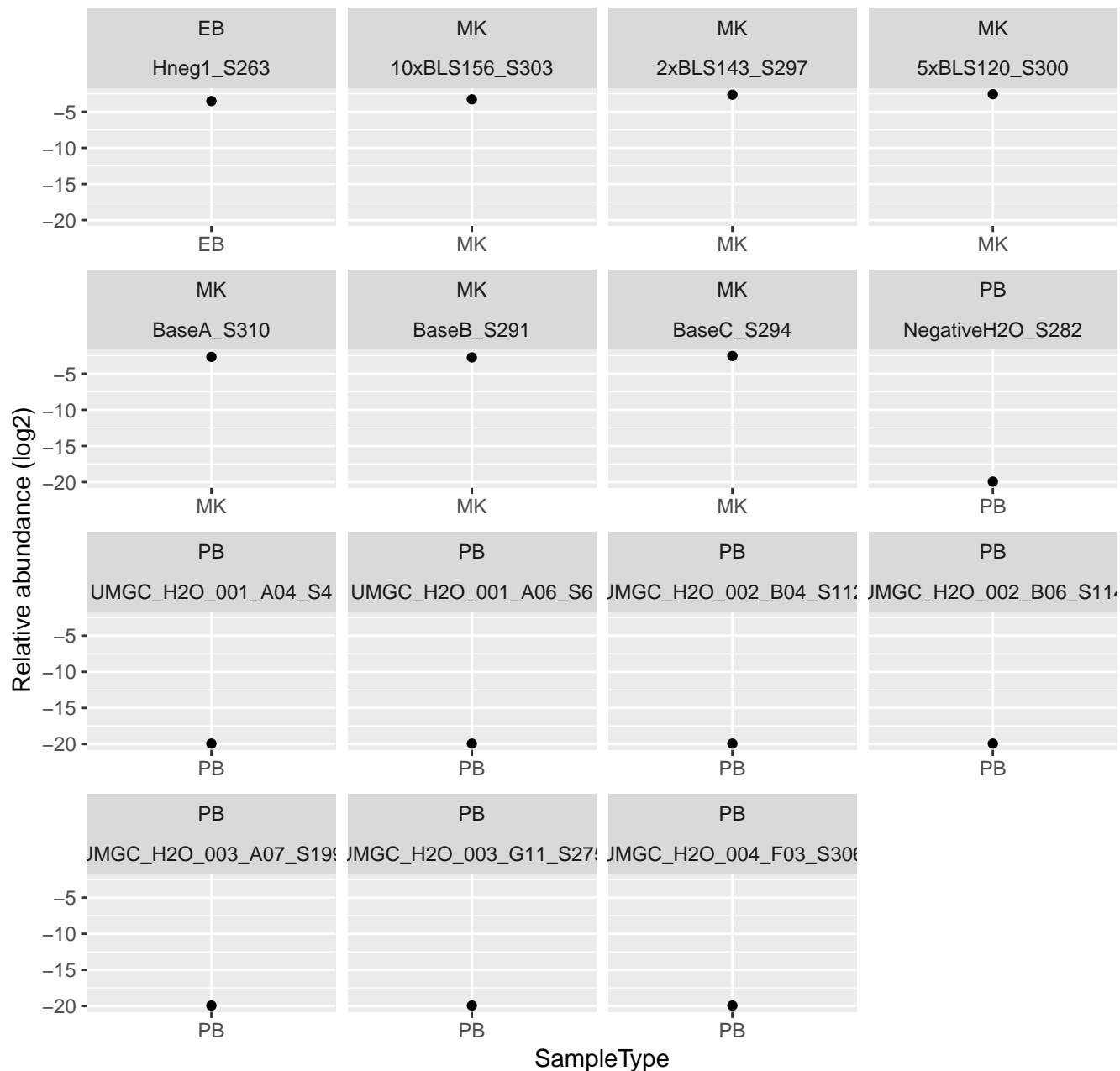
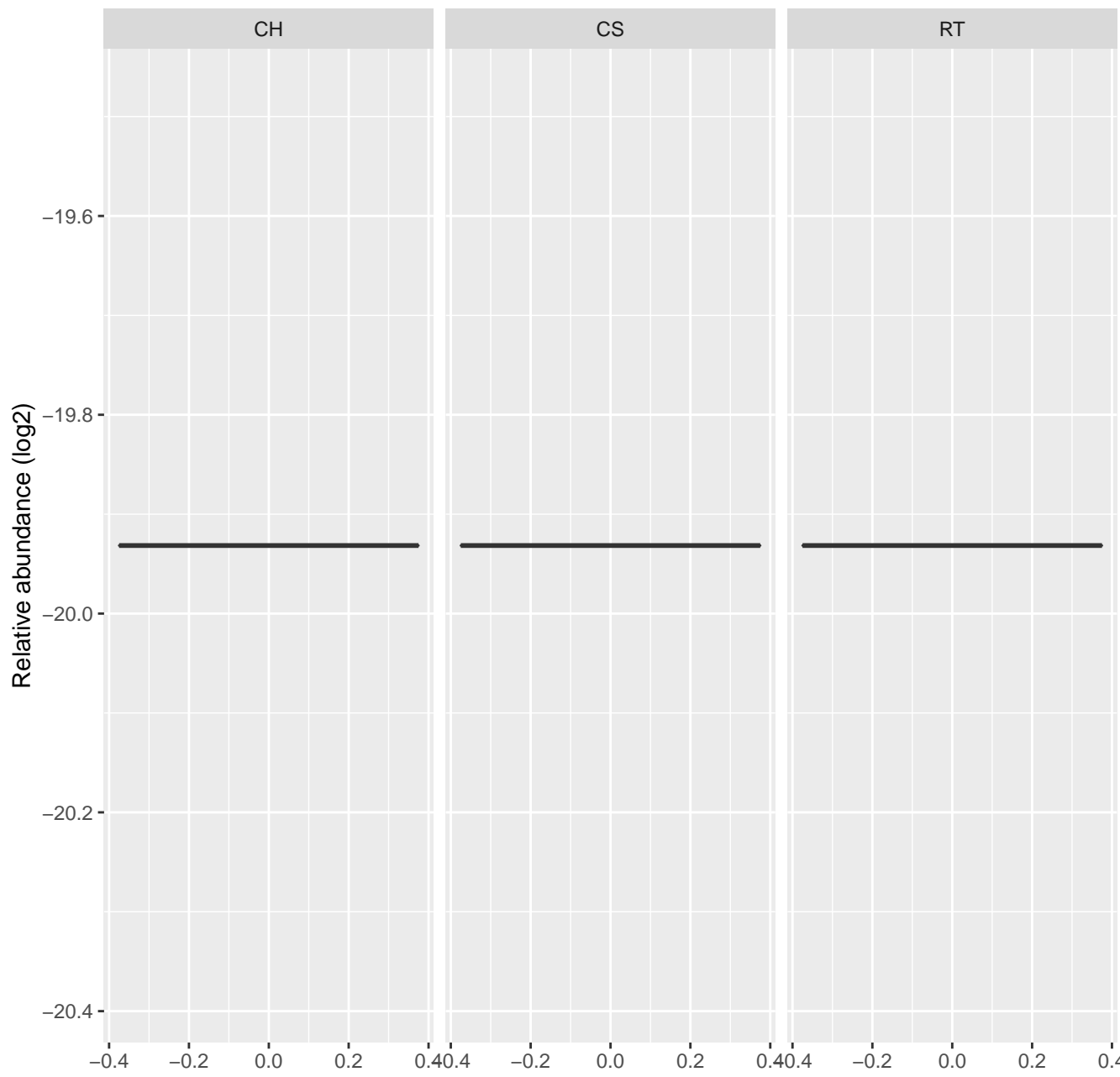


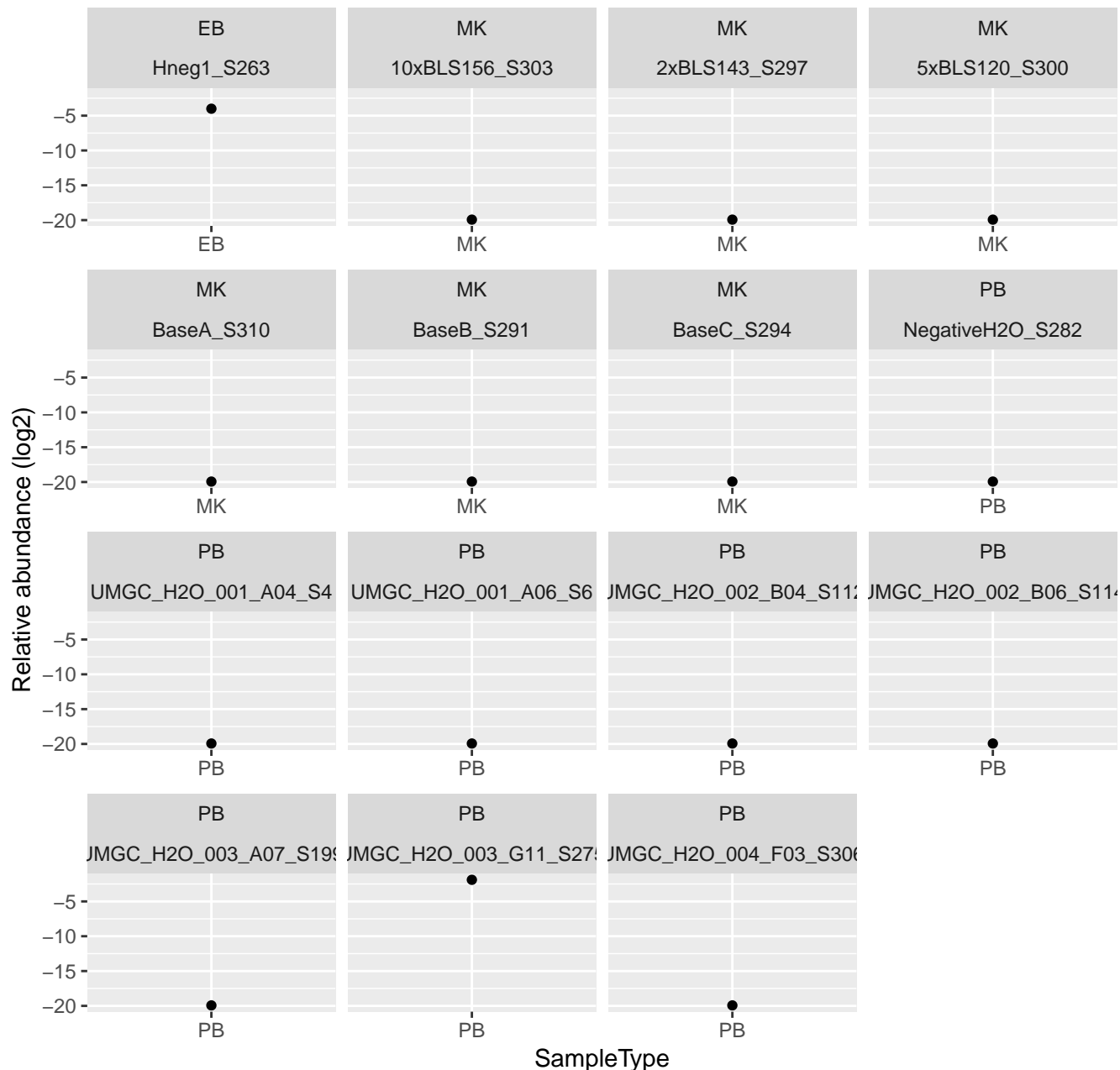
# ASV49



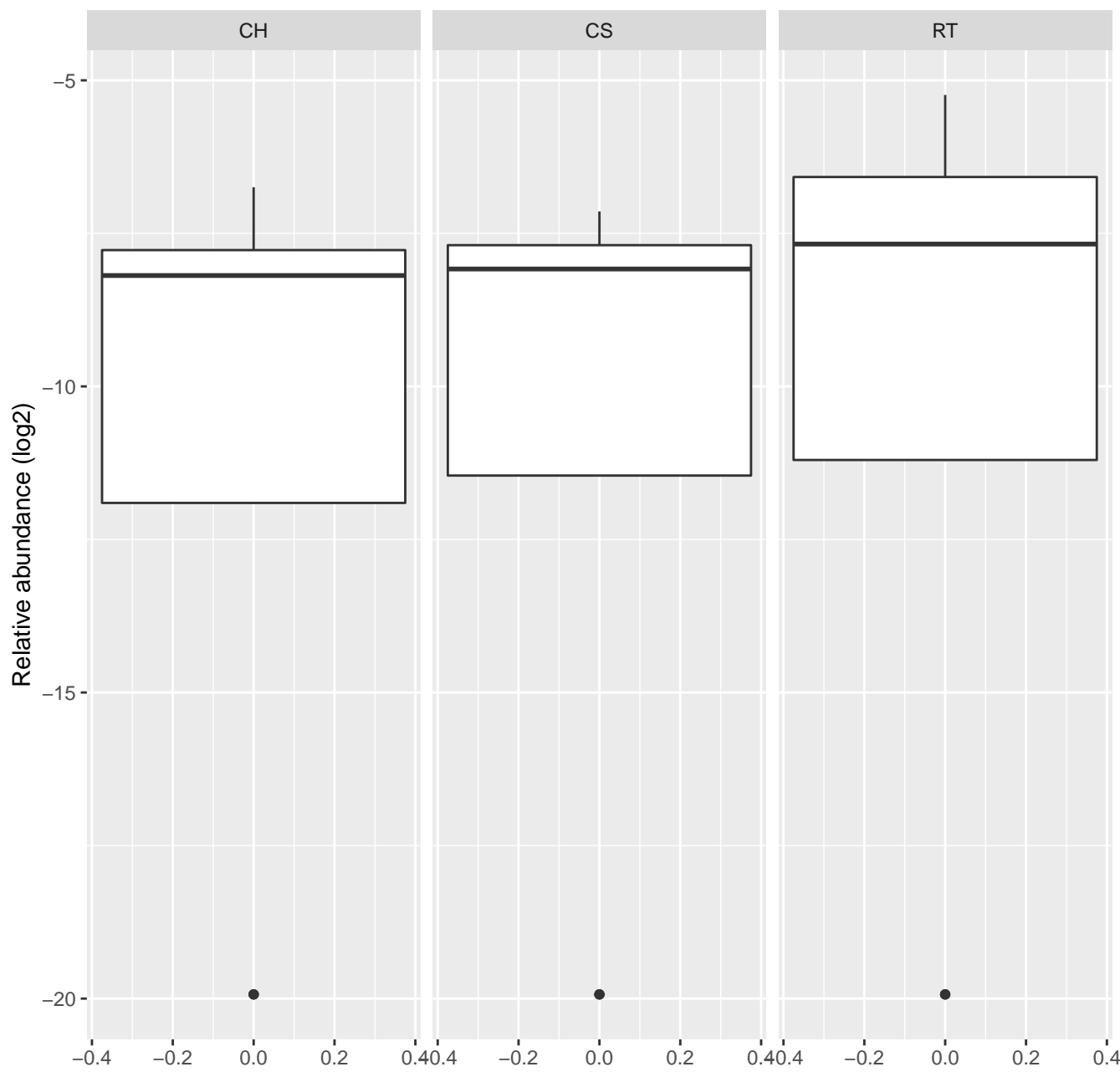
# ASV49



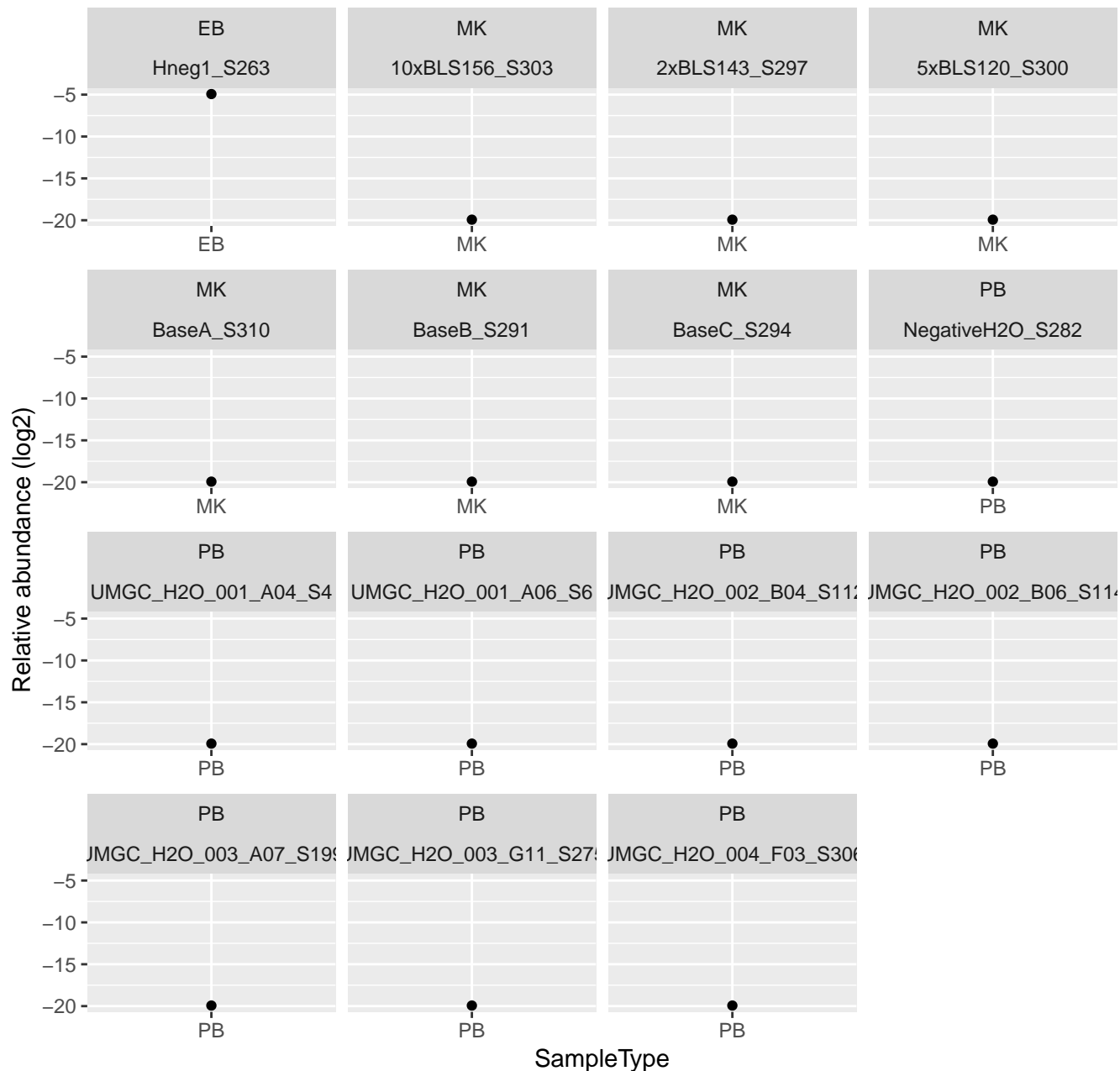
# ASV16



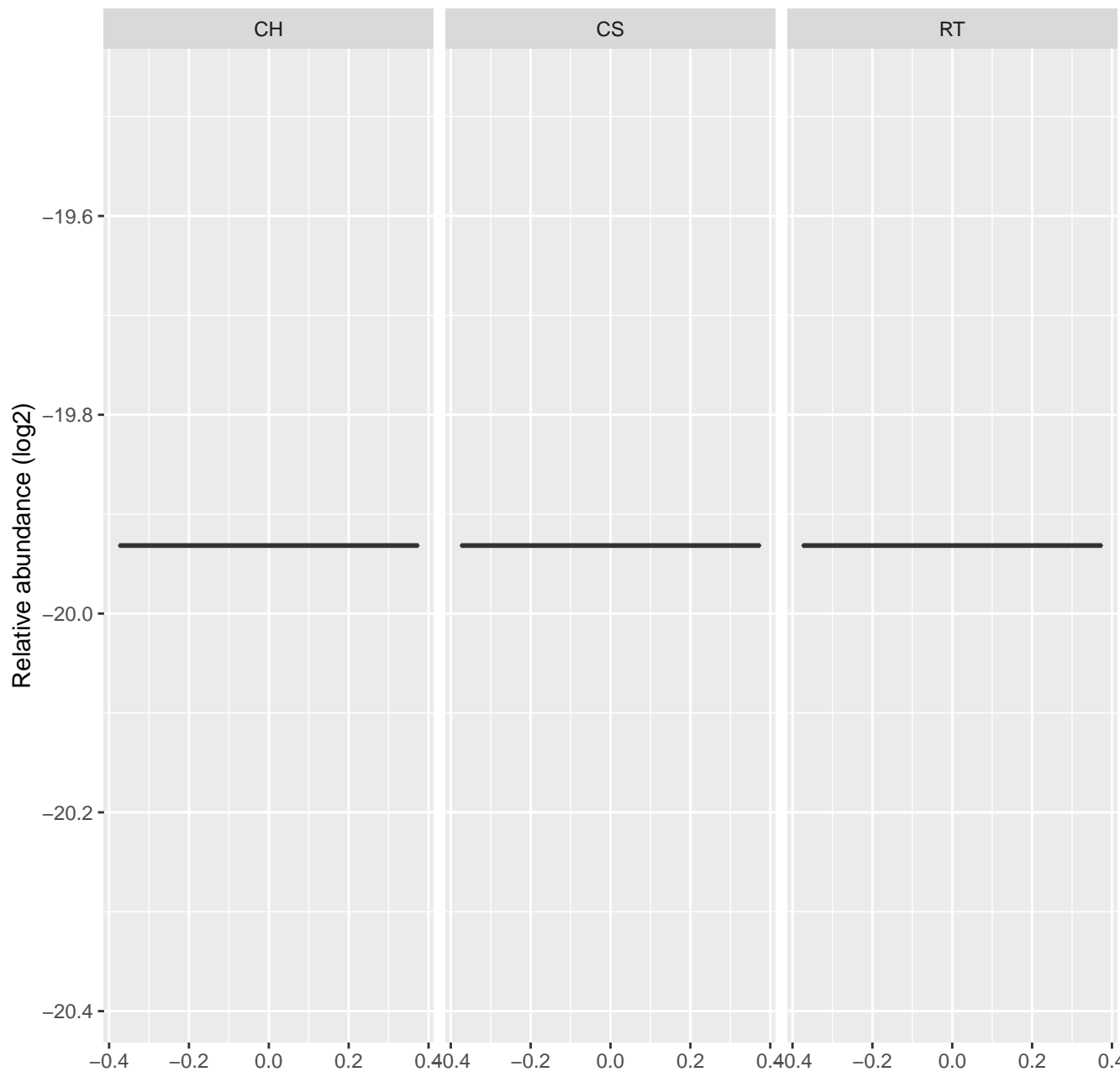
# ASV16



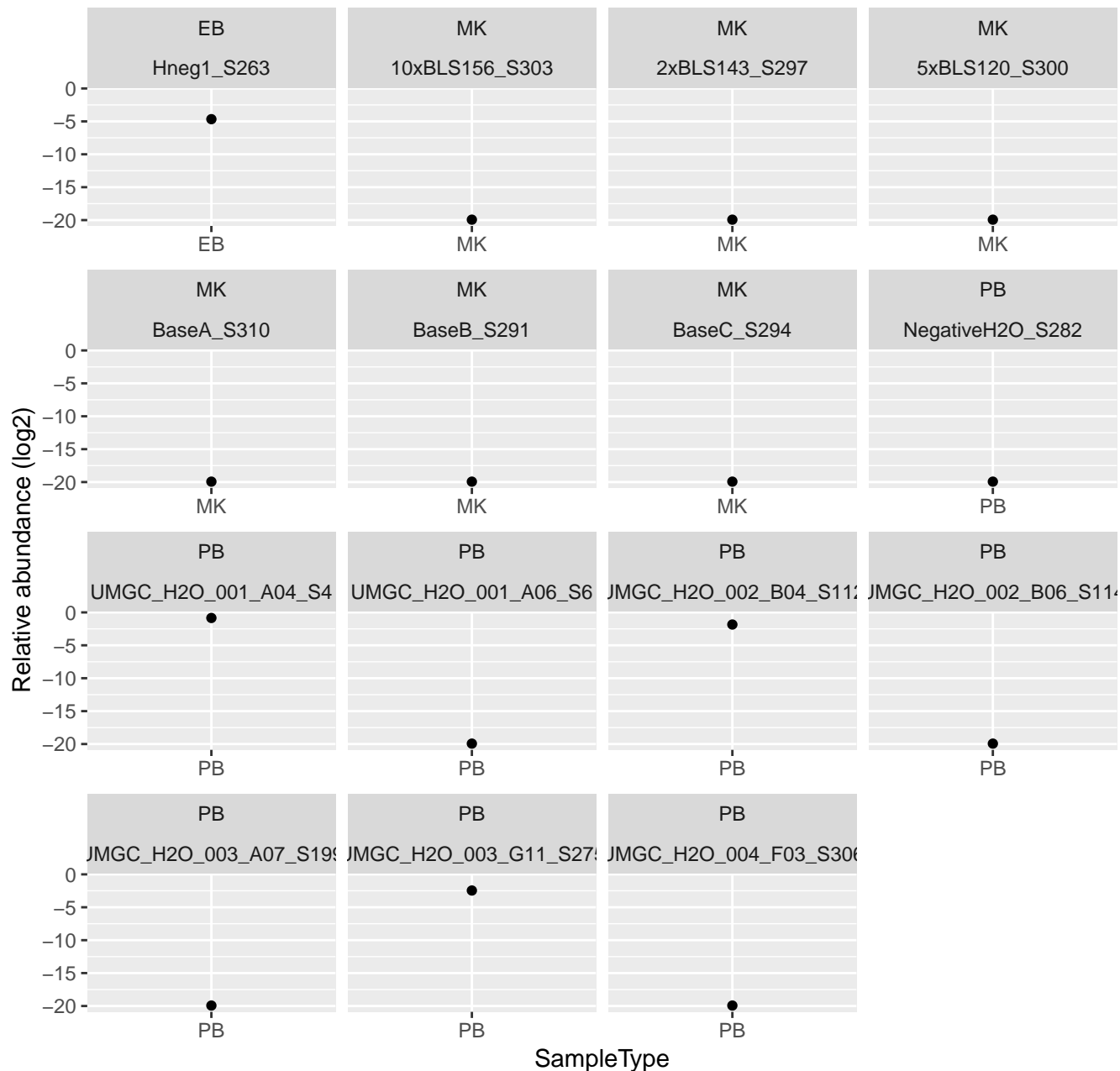
# ASV12695



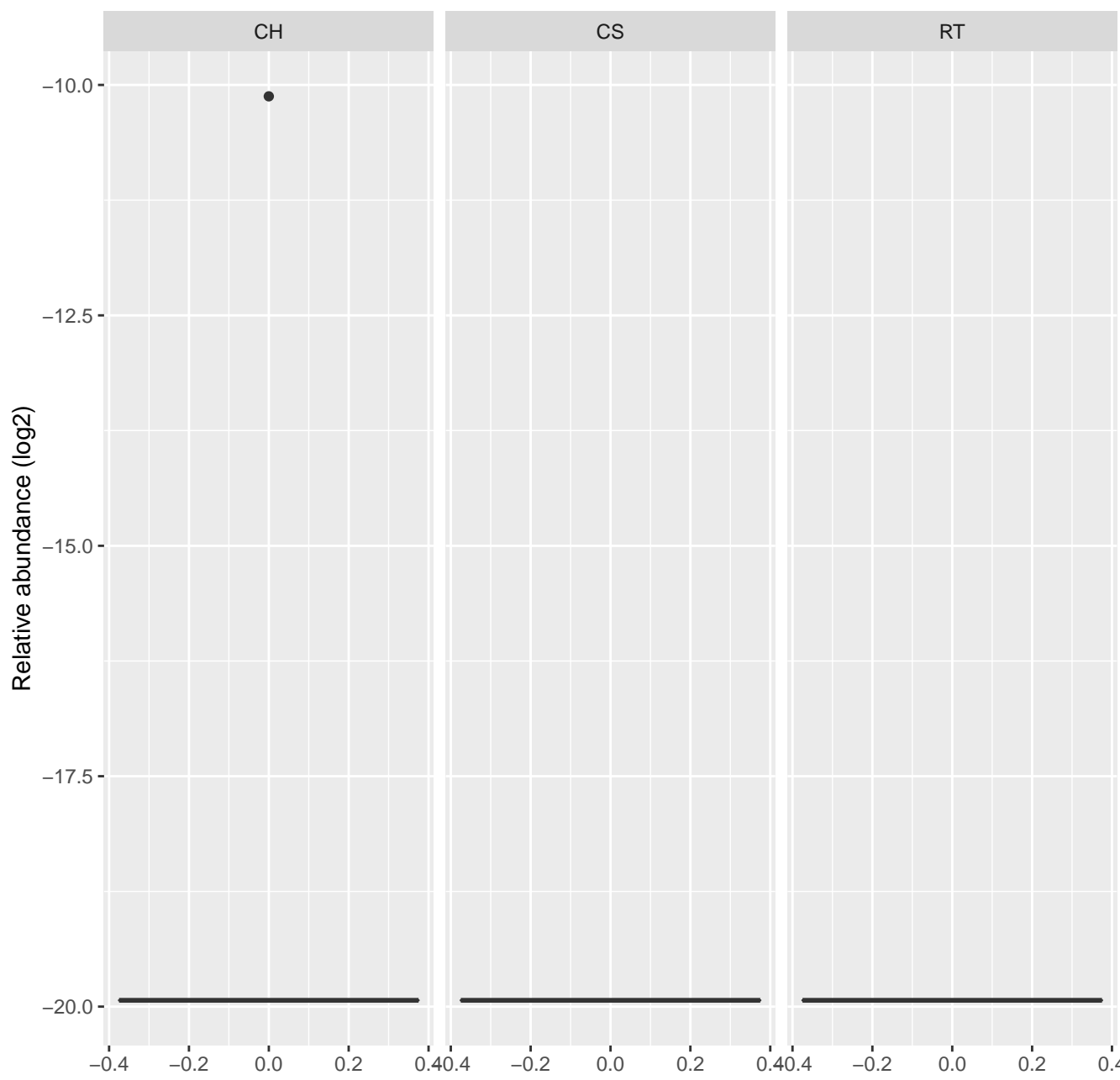
# ASV12695



# ASV2395

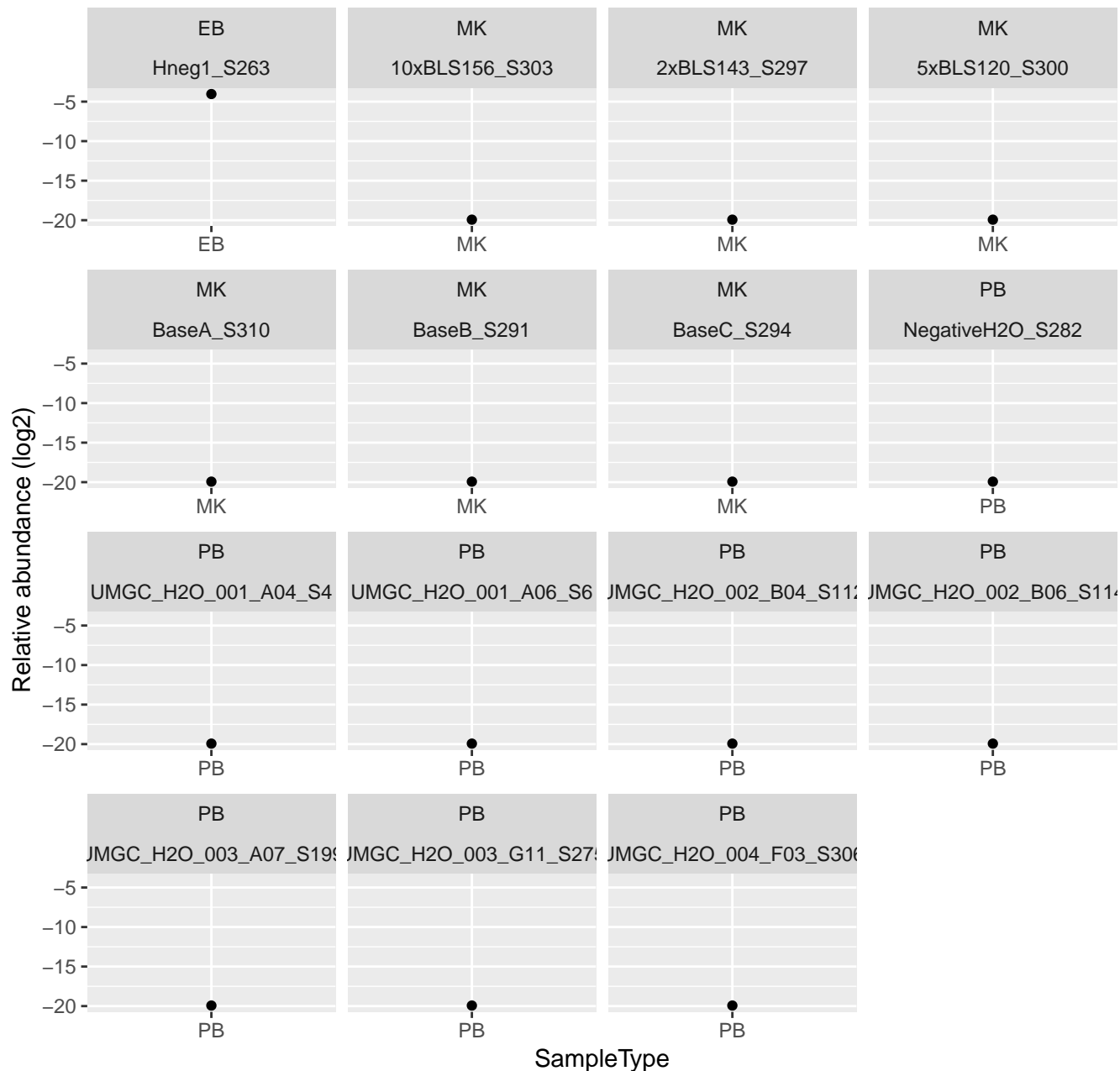


# ASV2395

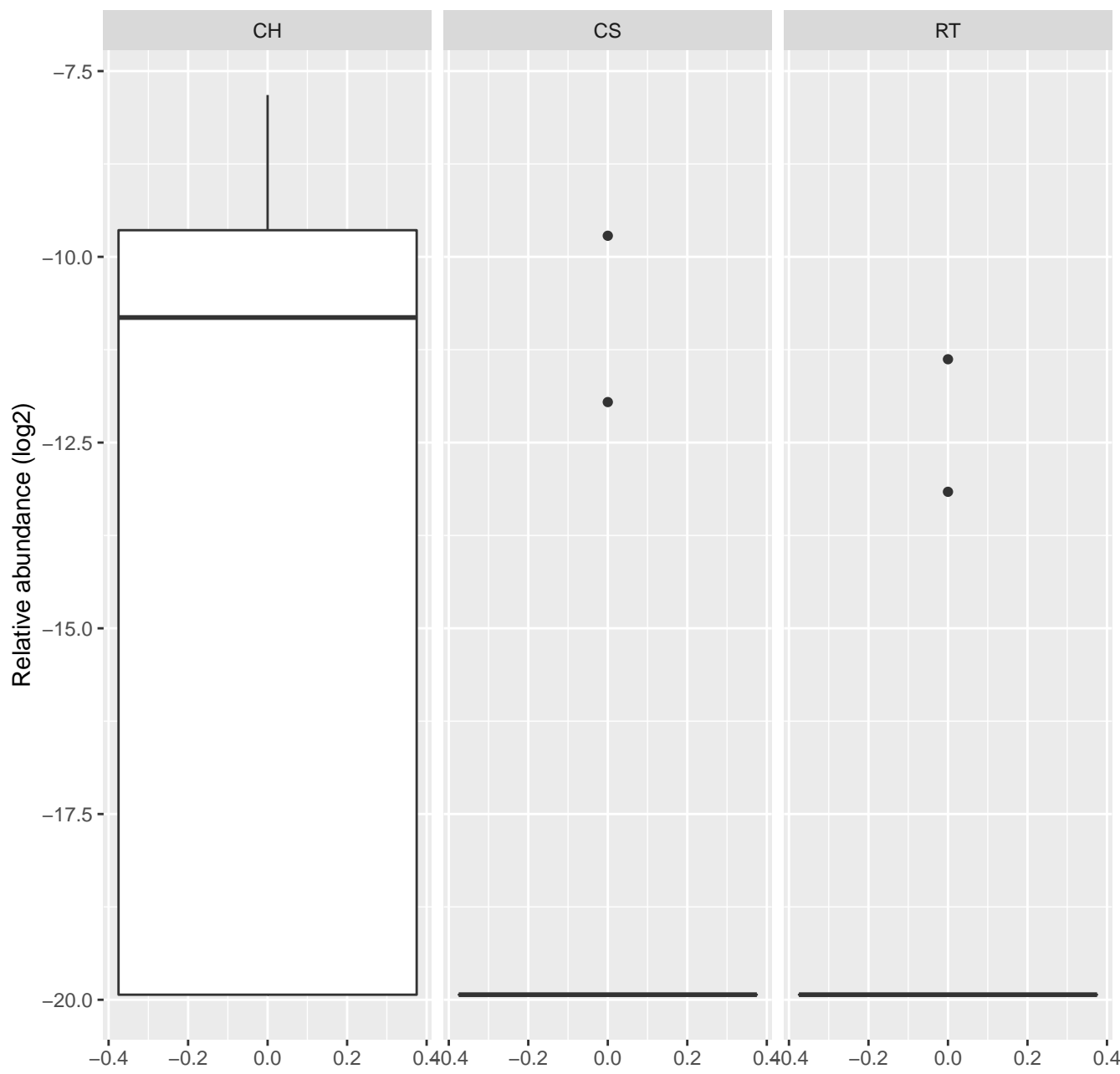




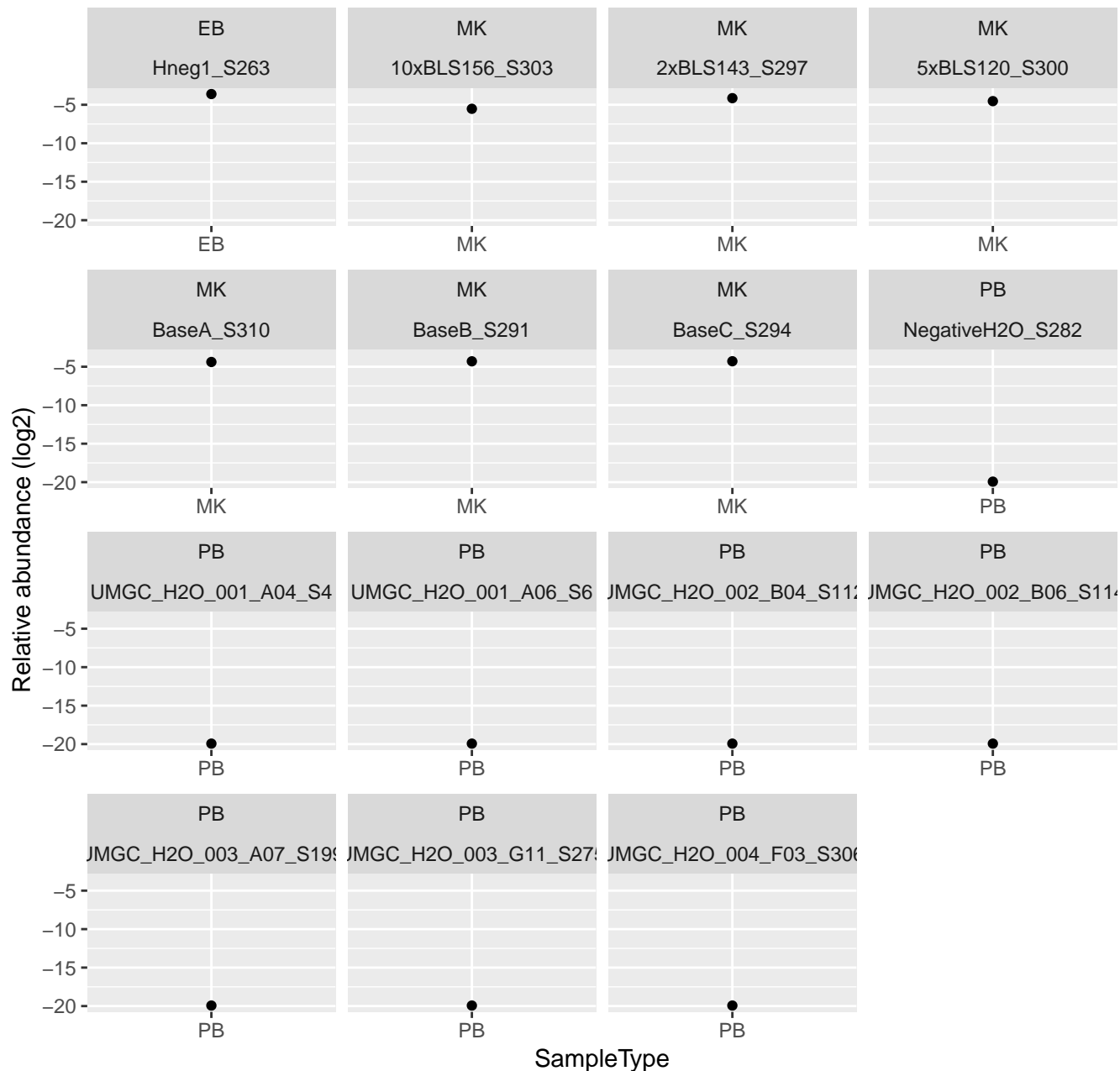
# ASV681



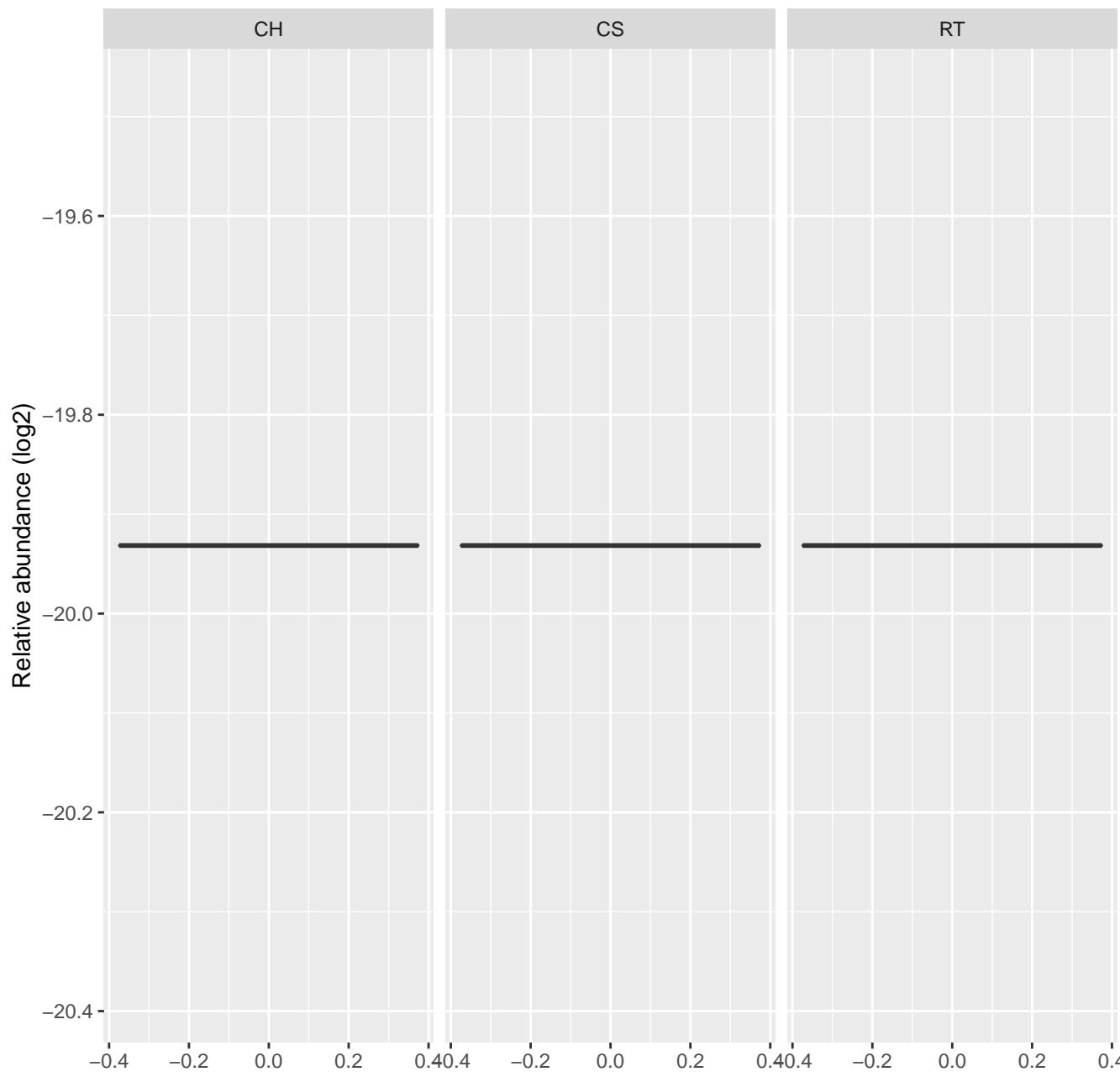
ASV681



# ASV284

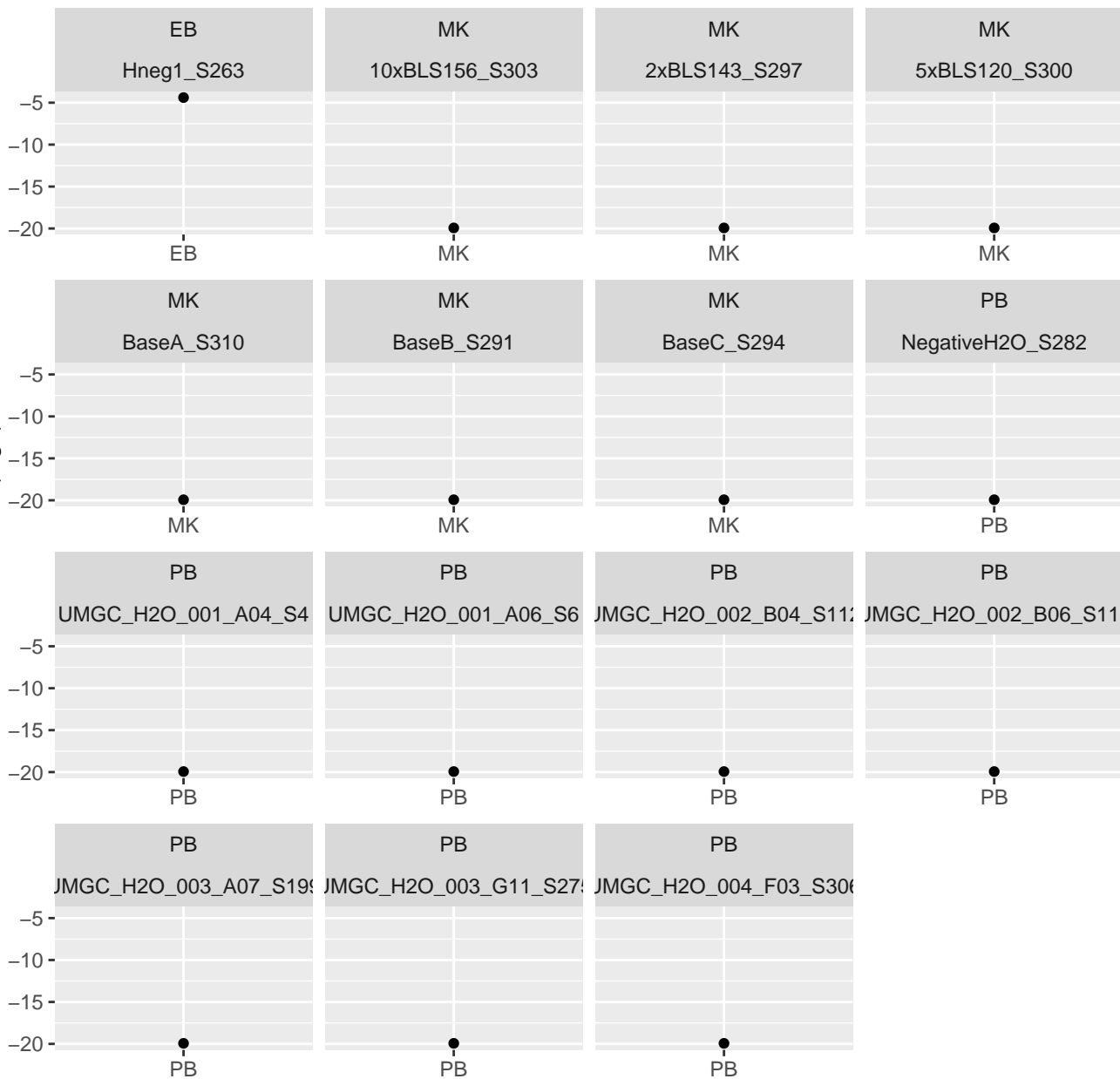


# ASV284



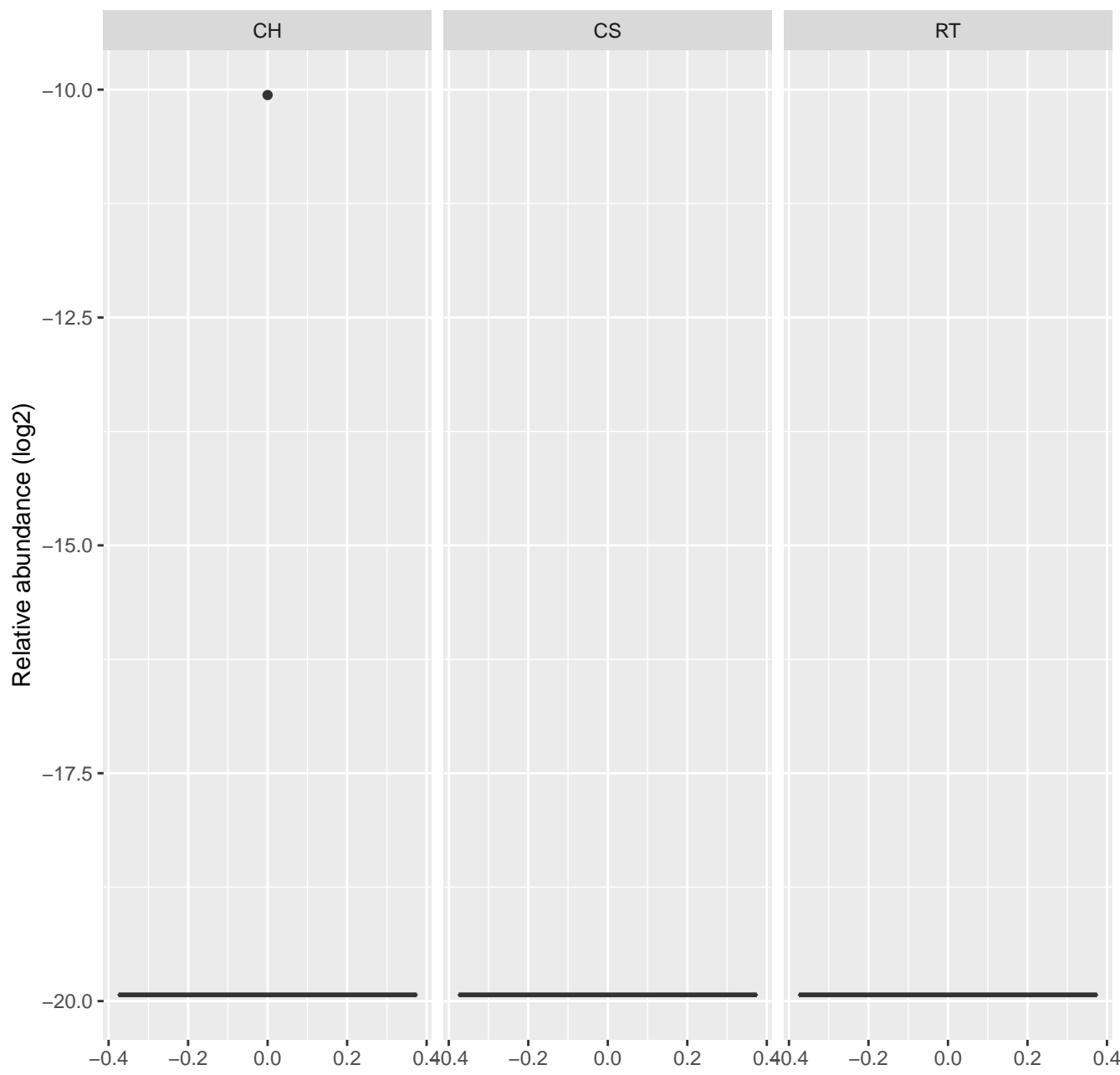
# ASV1706

Relative abundance (log2)

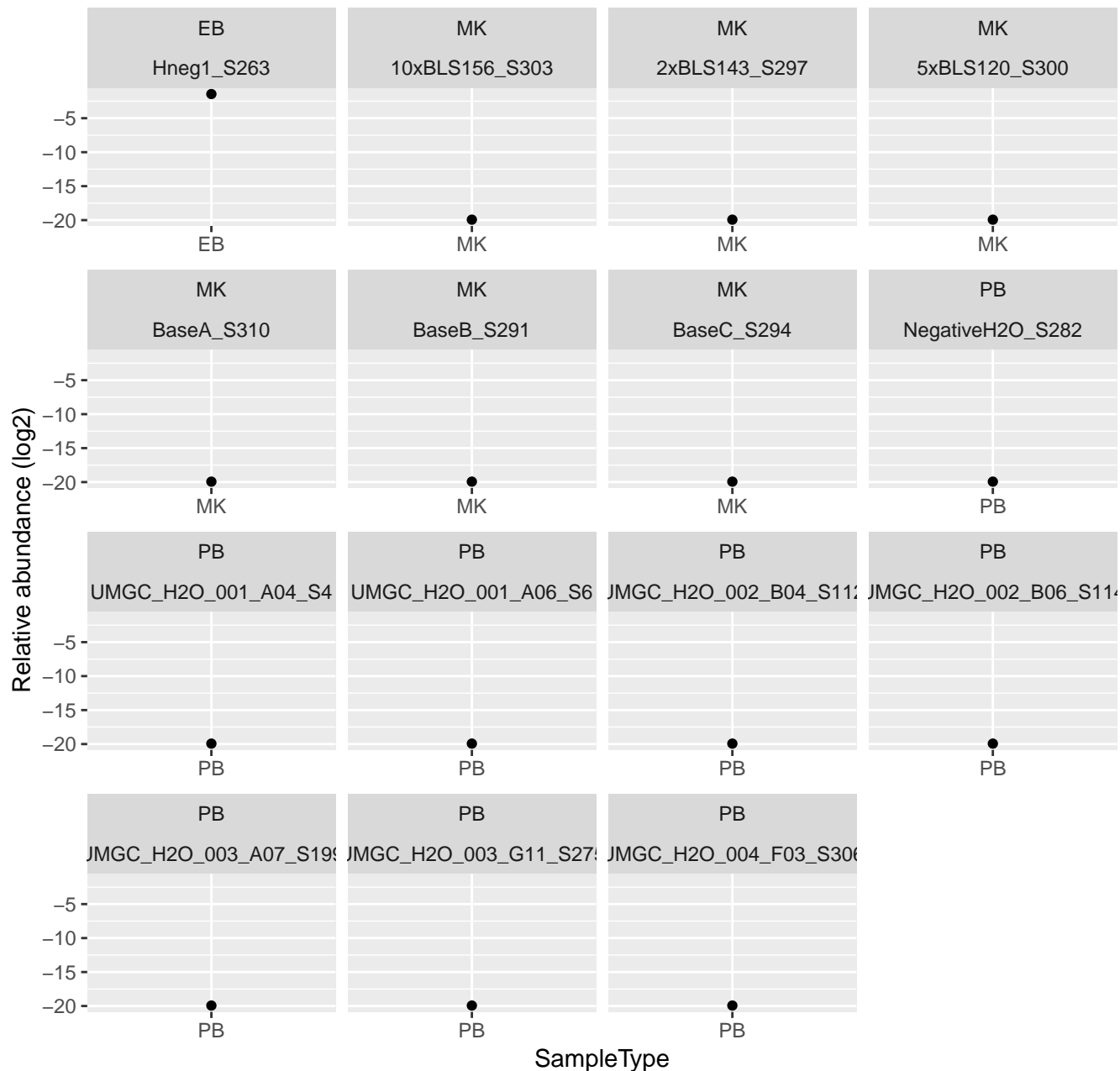


SampleType

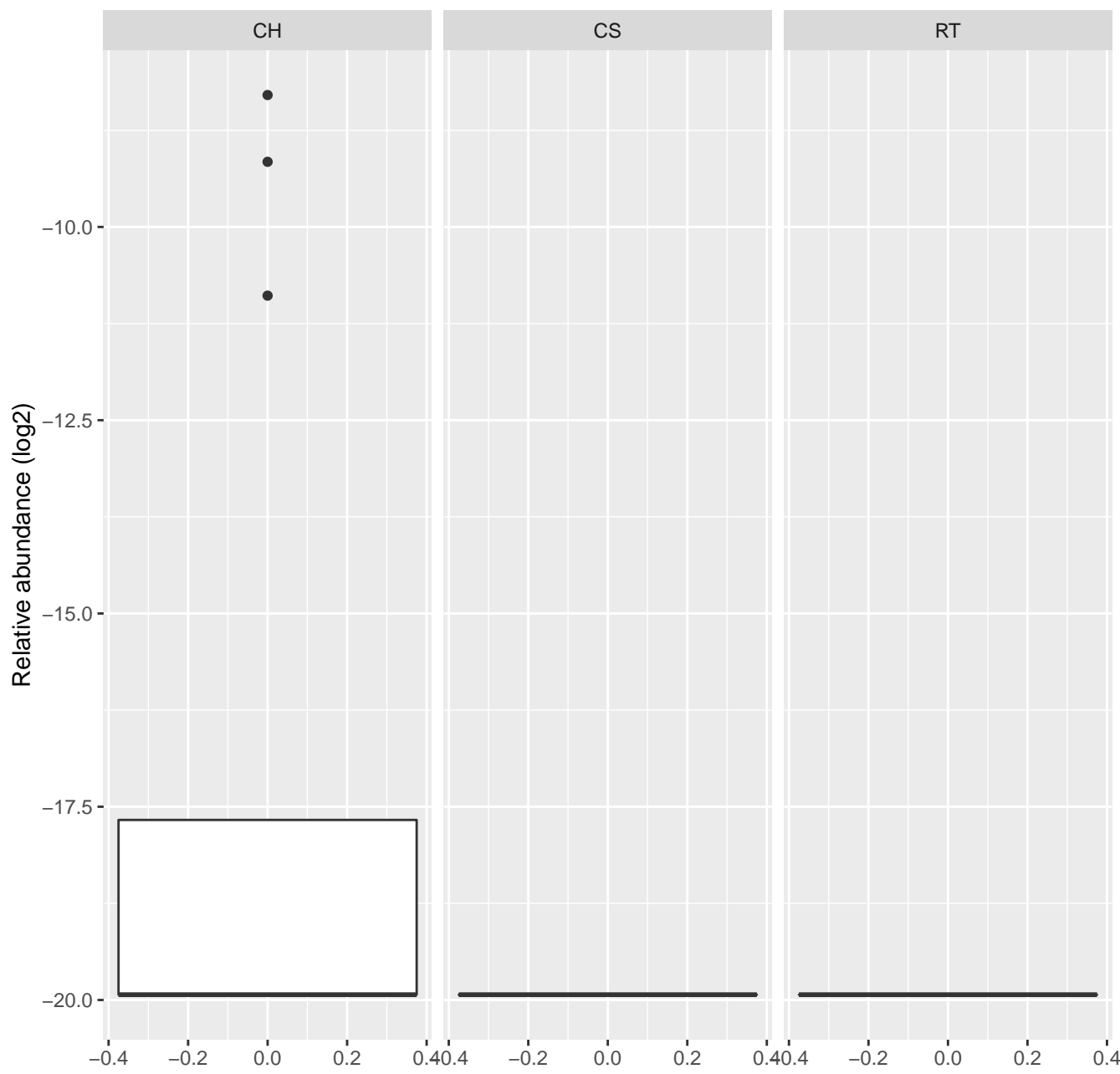
# ASV1706



# ASV1900



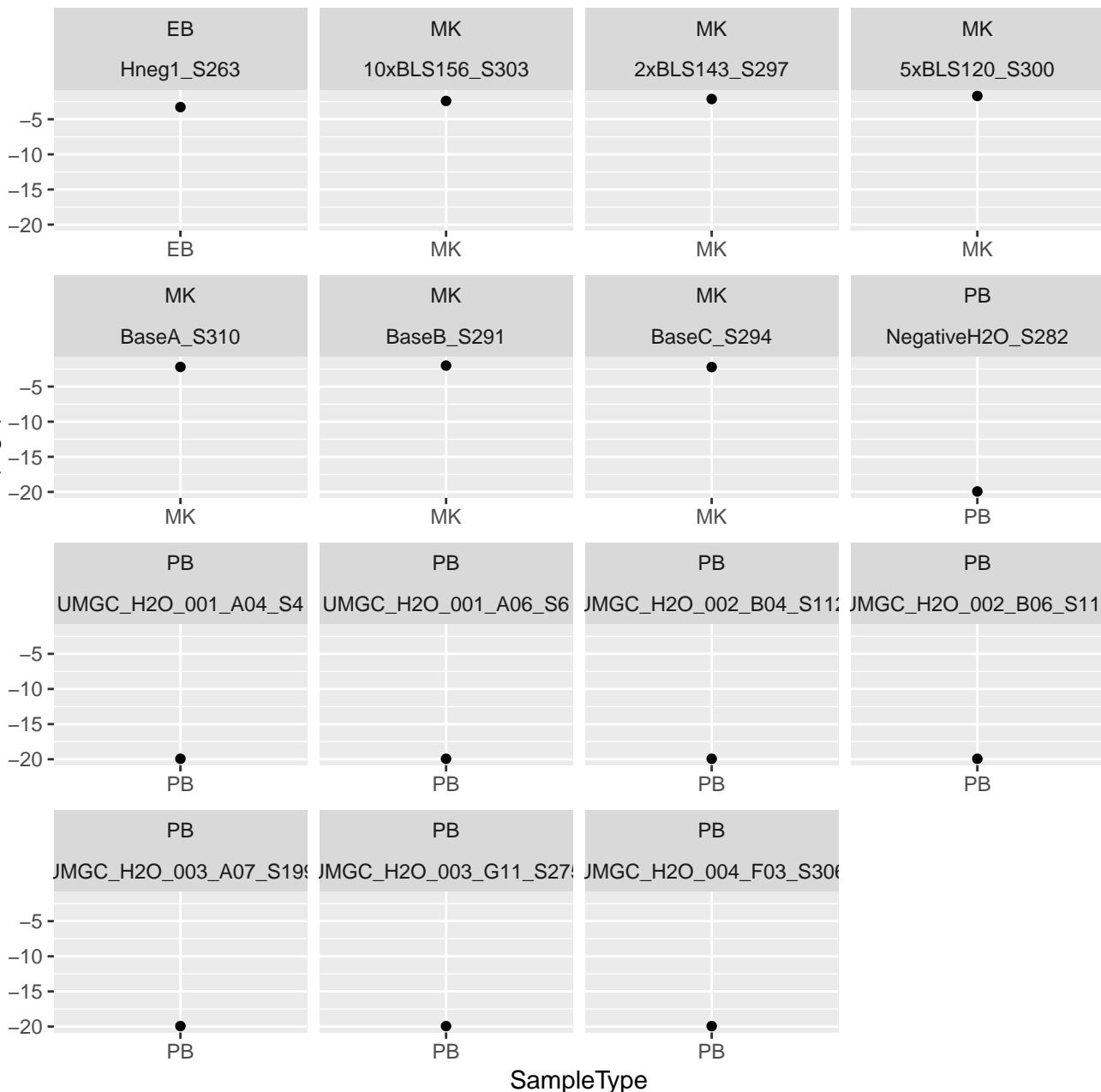
# ASV1900



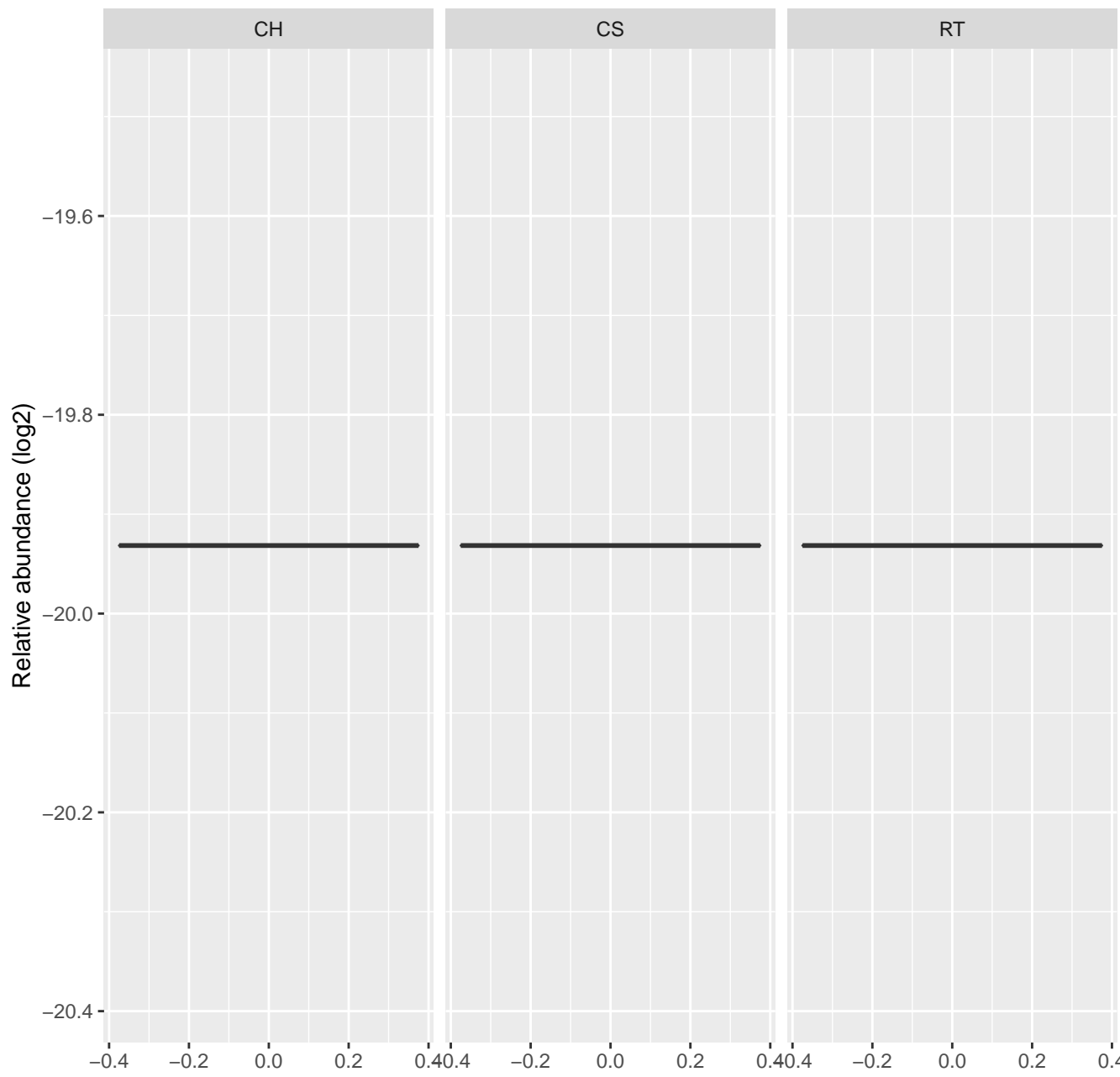


# ASV26

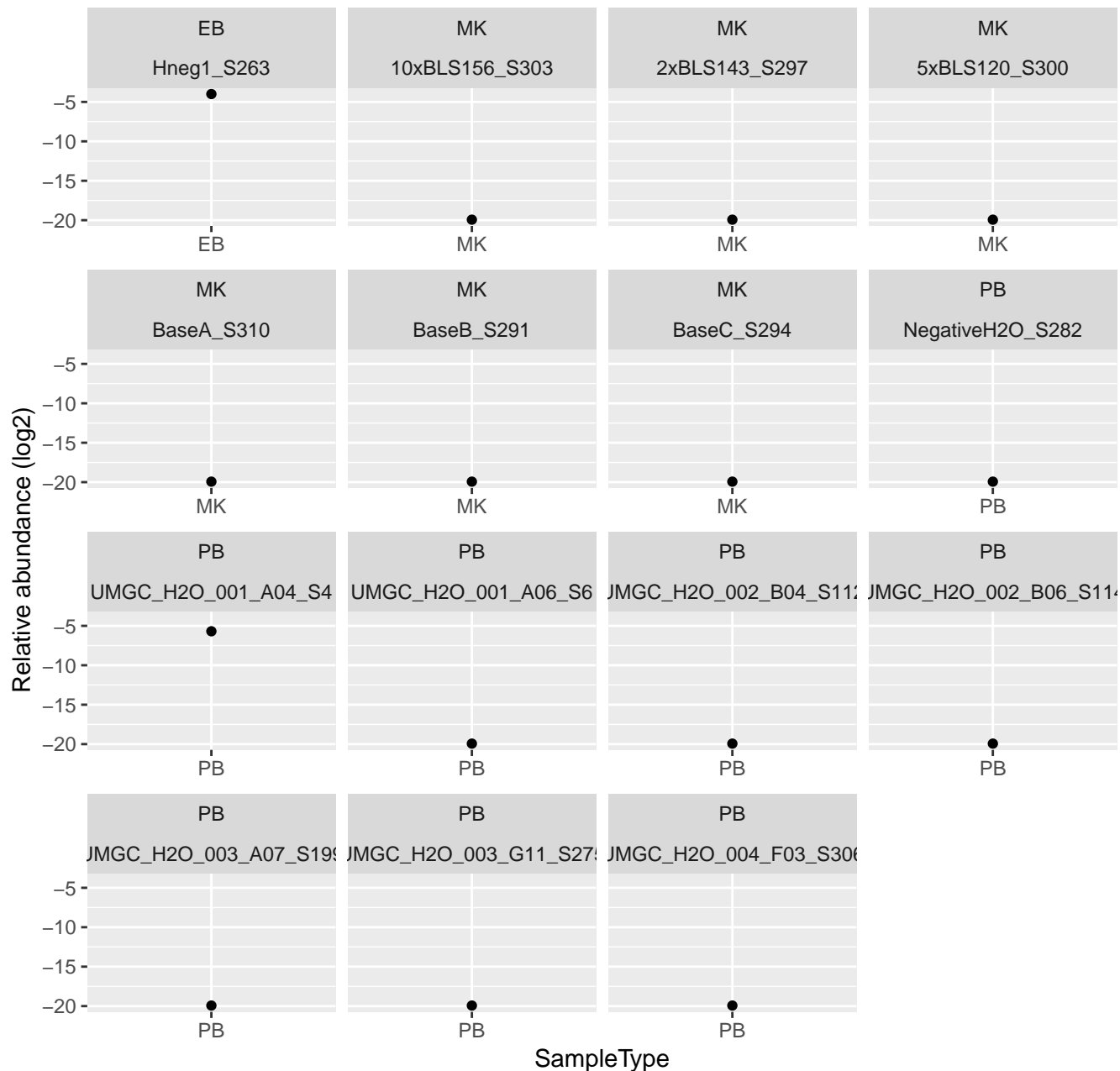
Relative abundance (log2)



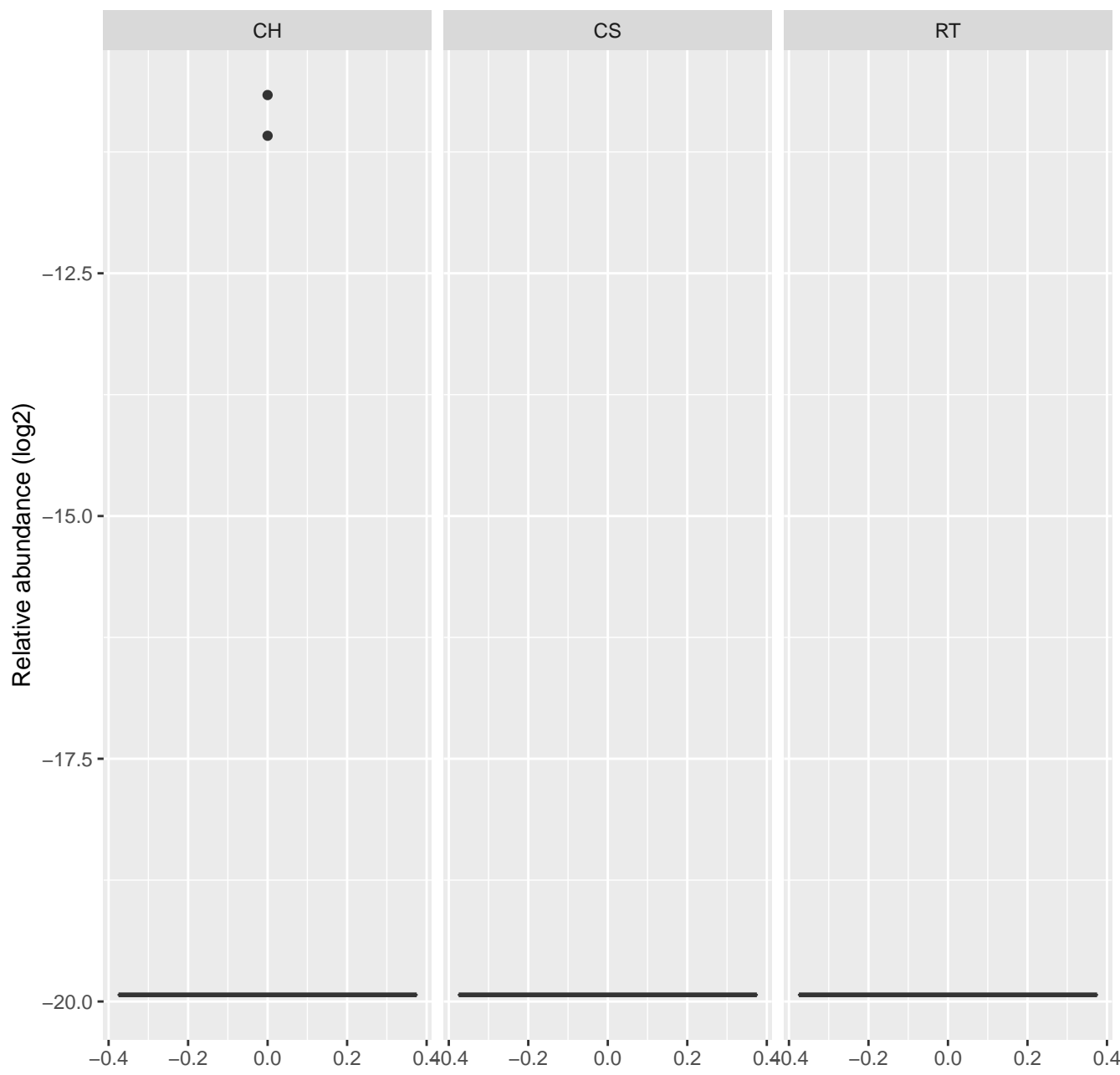
# ASV26



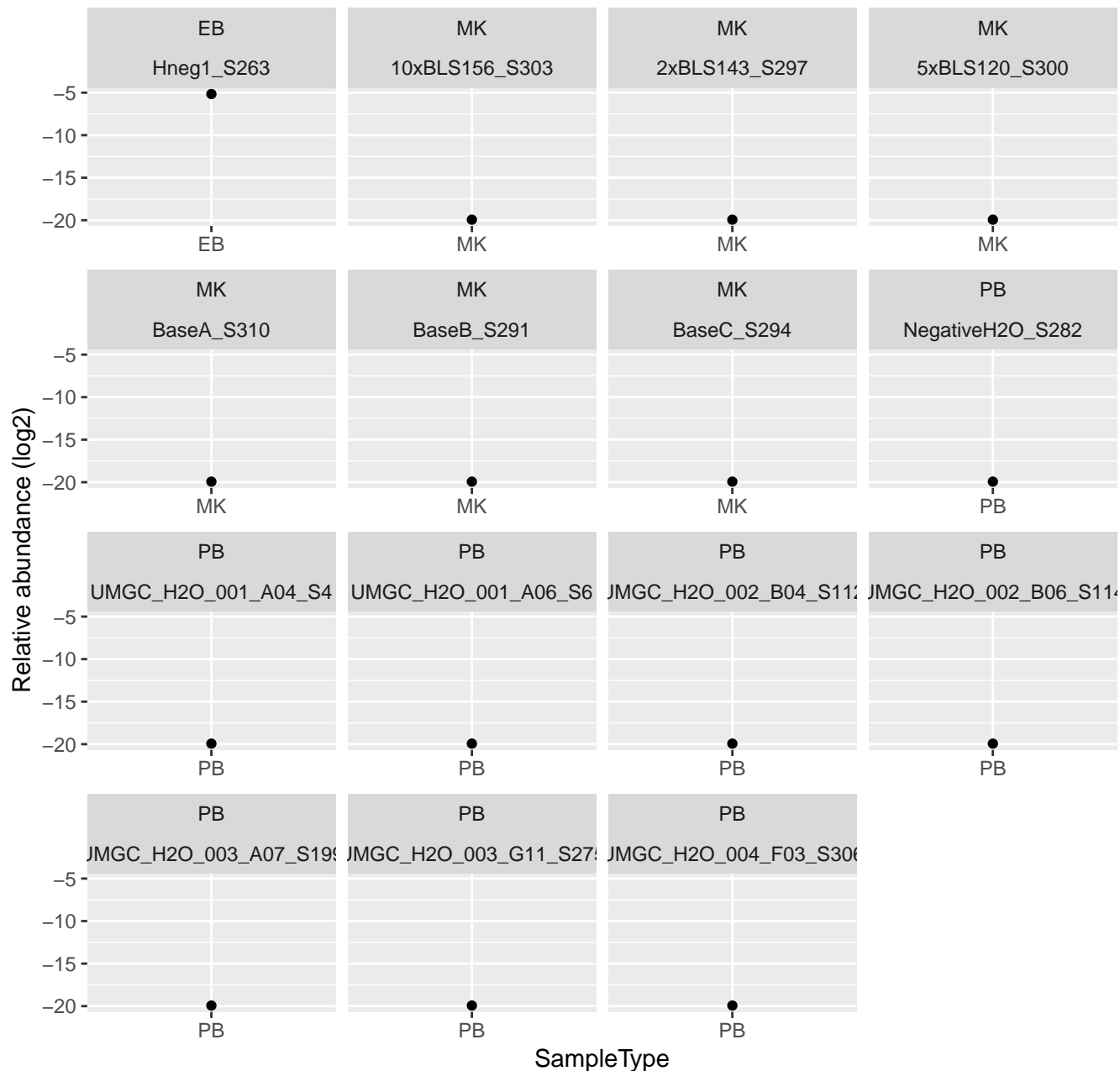
# ASV14332



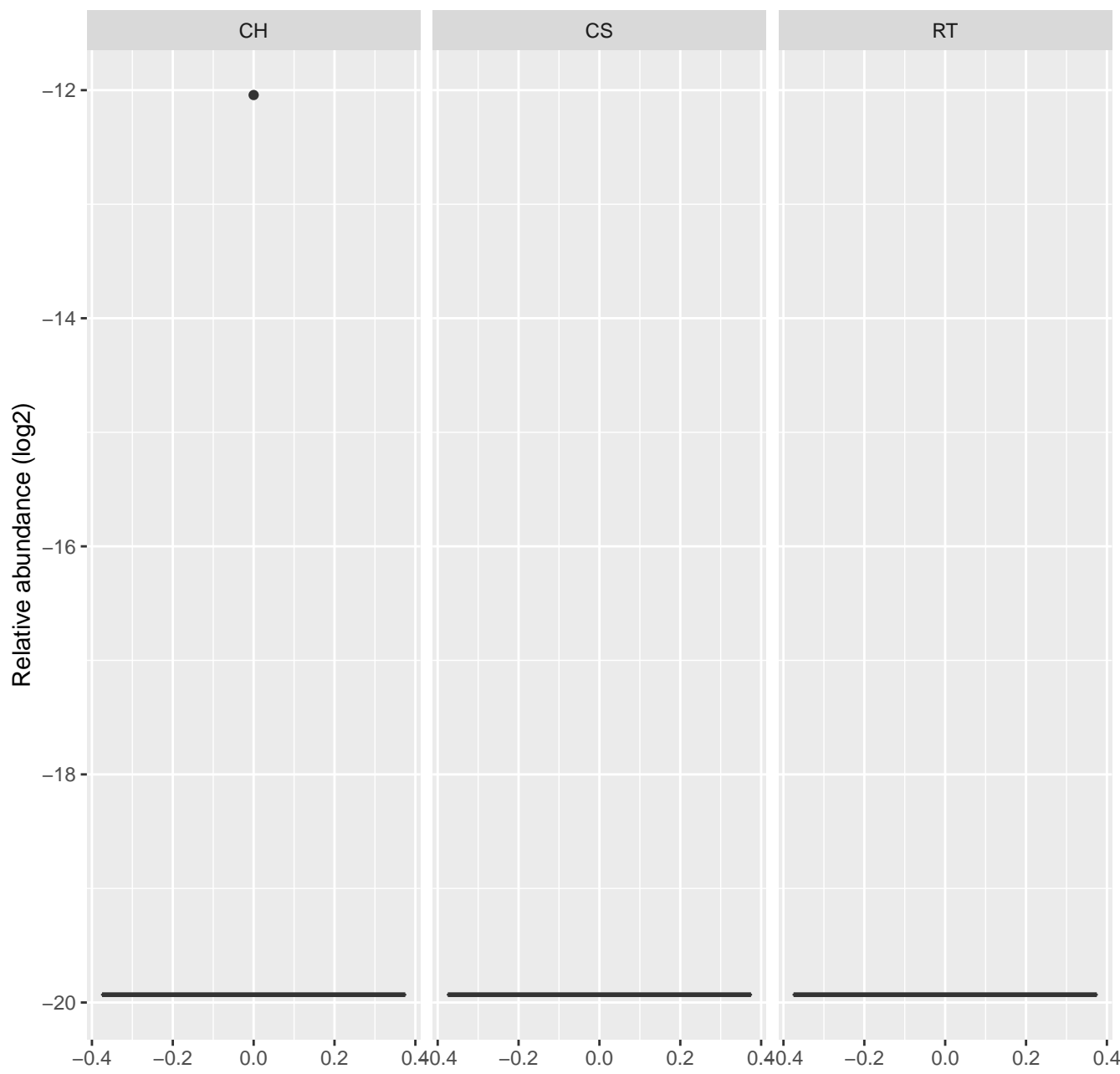
## ASV14332



# ASV2962

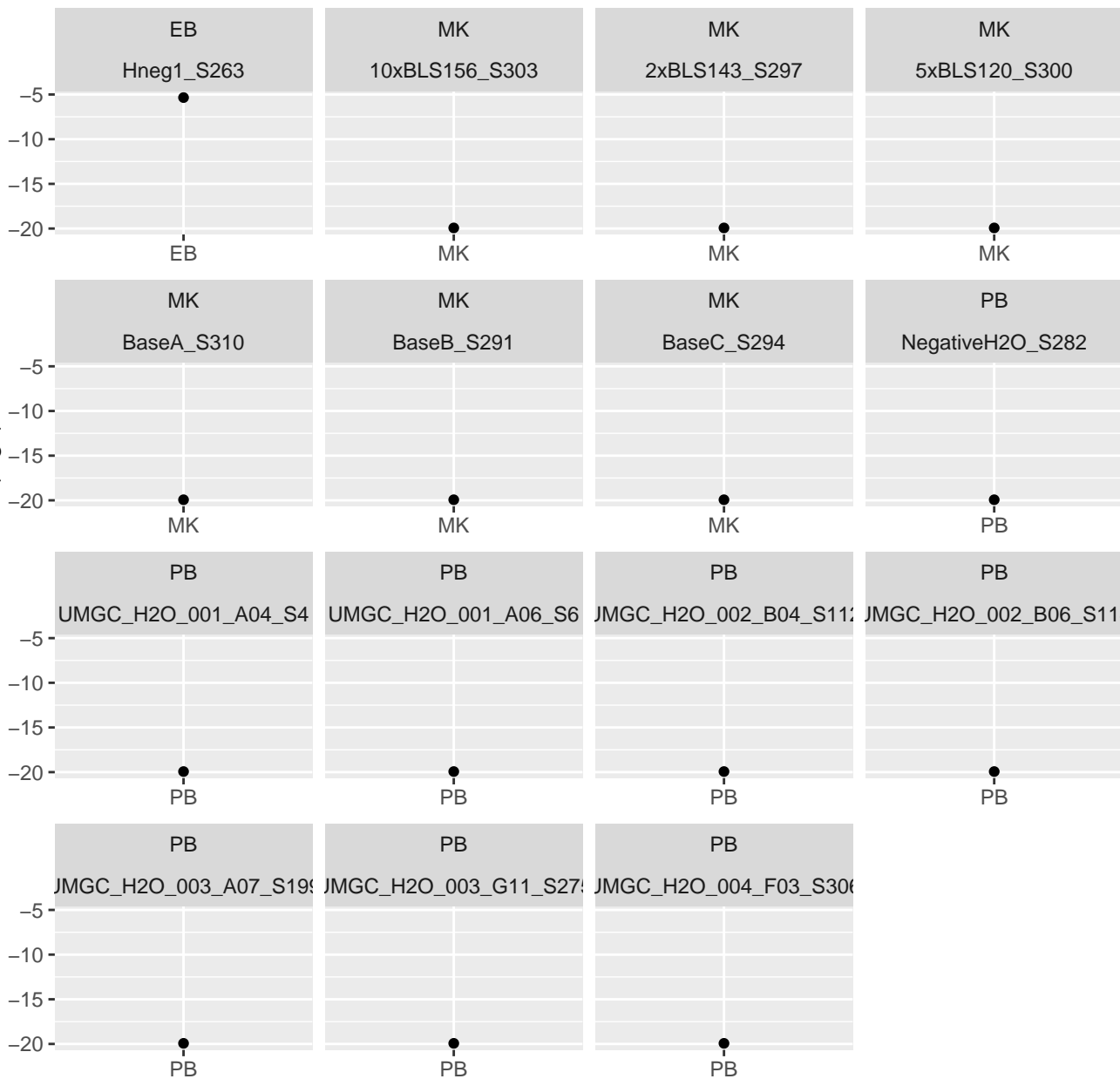


# ASV2962



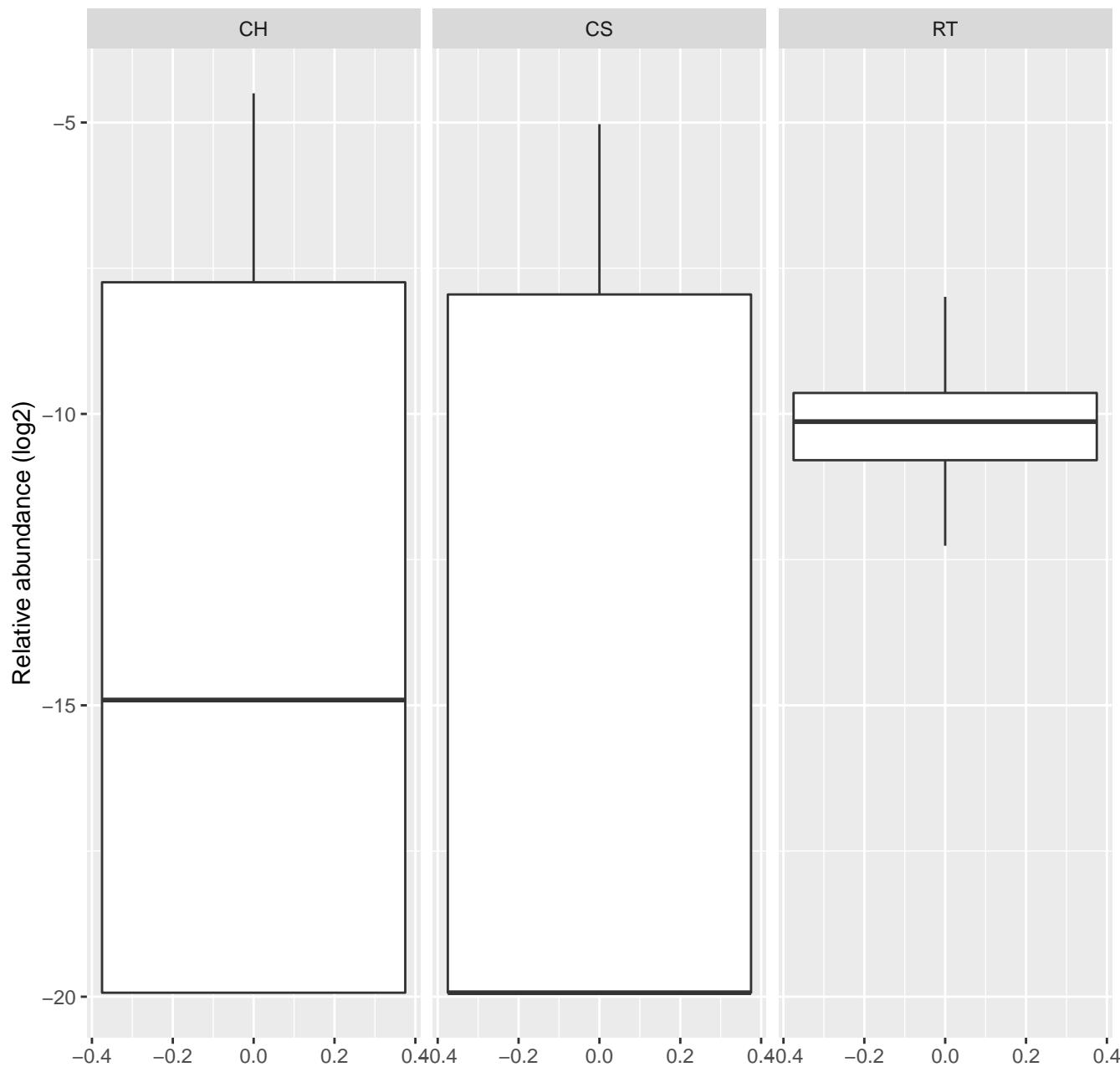
# ASV41

Relative abundance (log2)



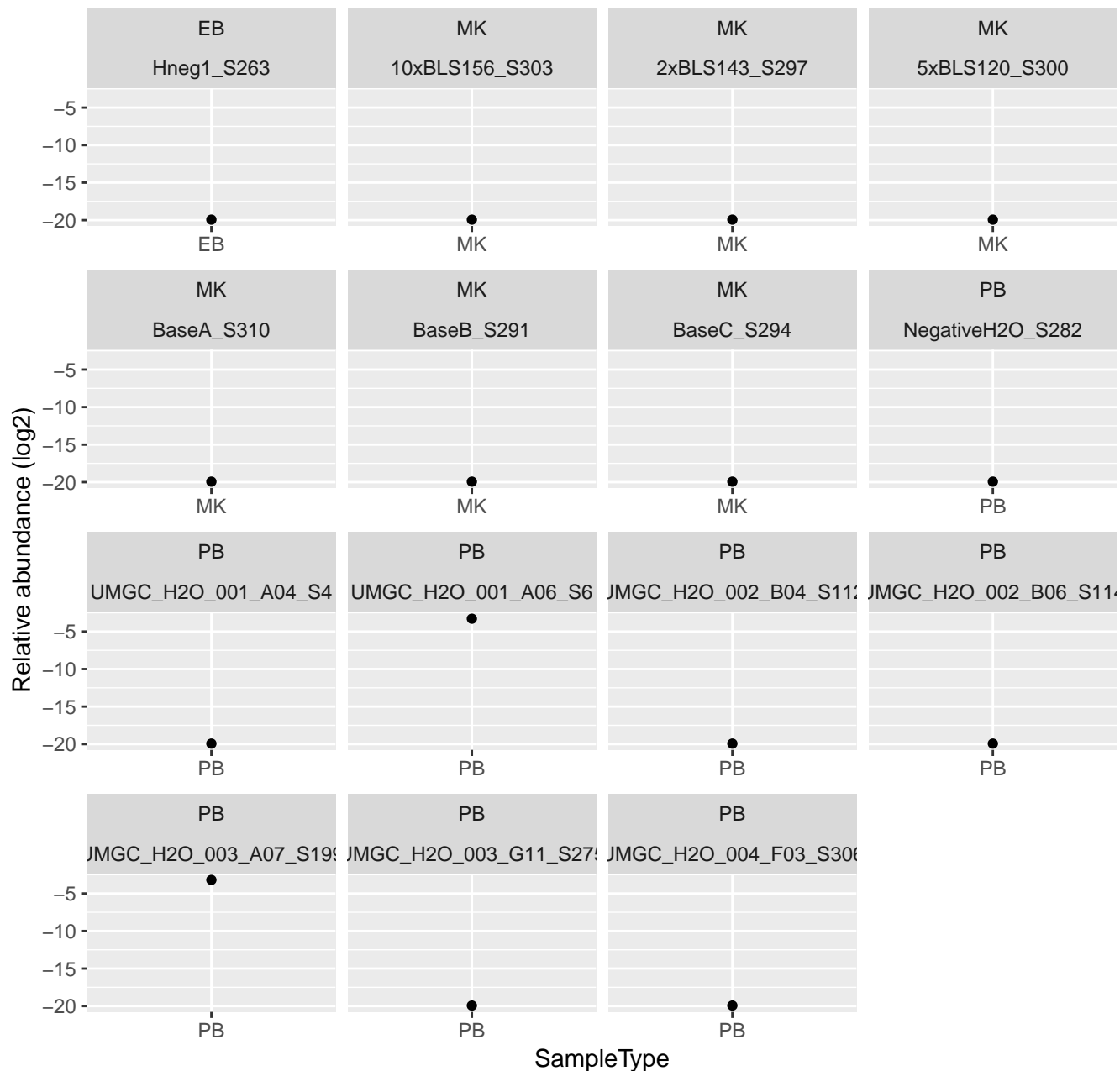
SampleType

# ASV41

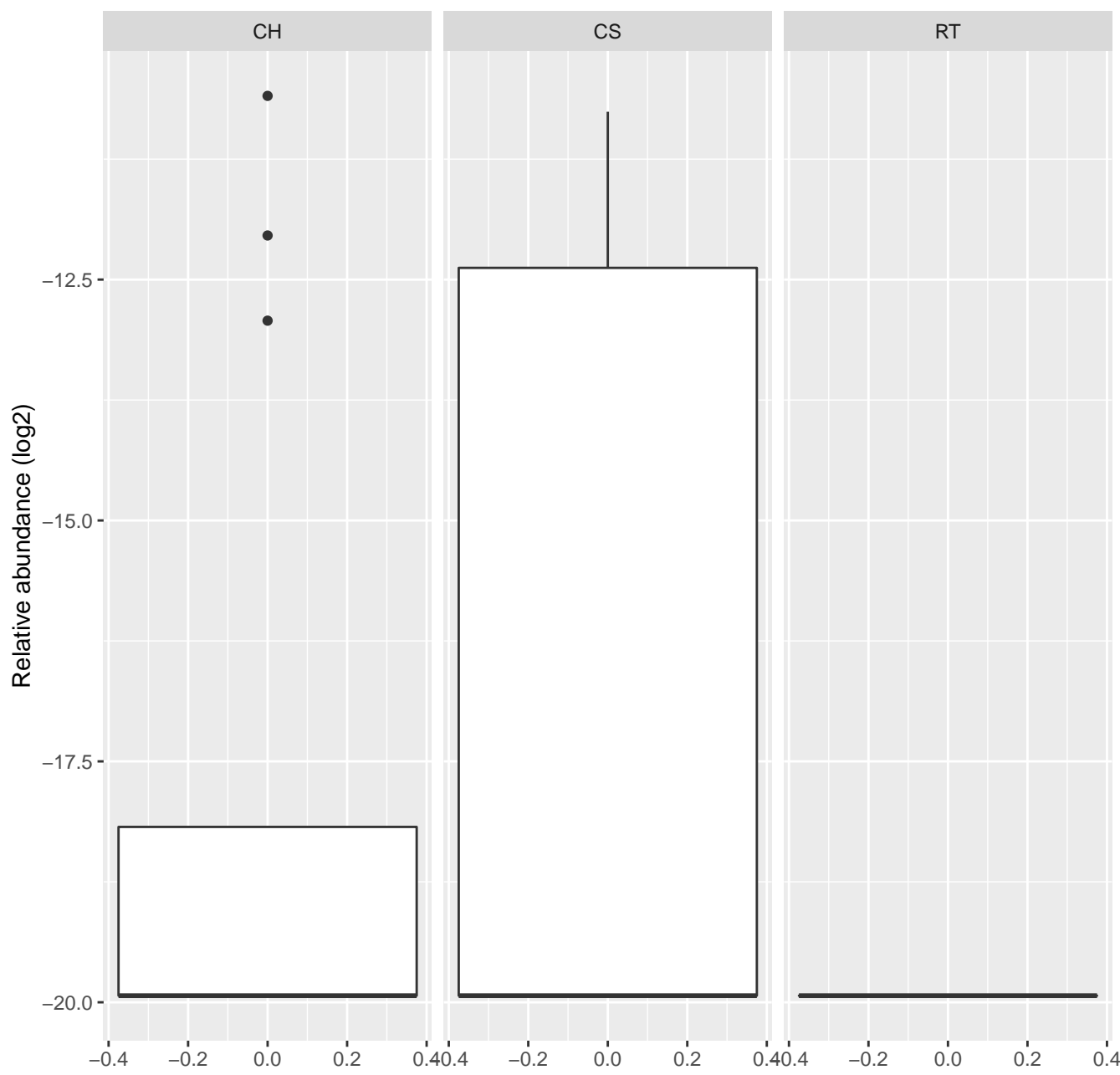




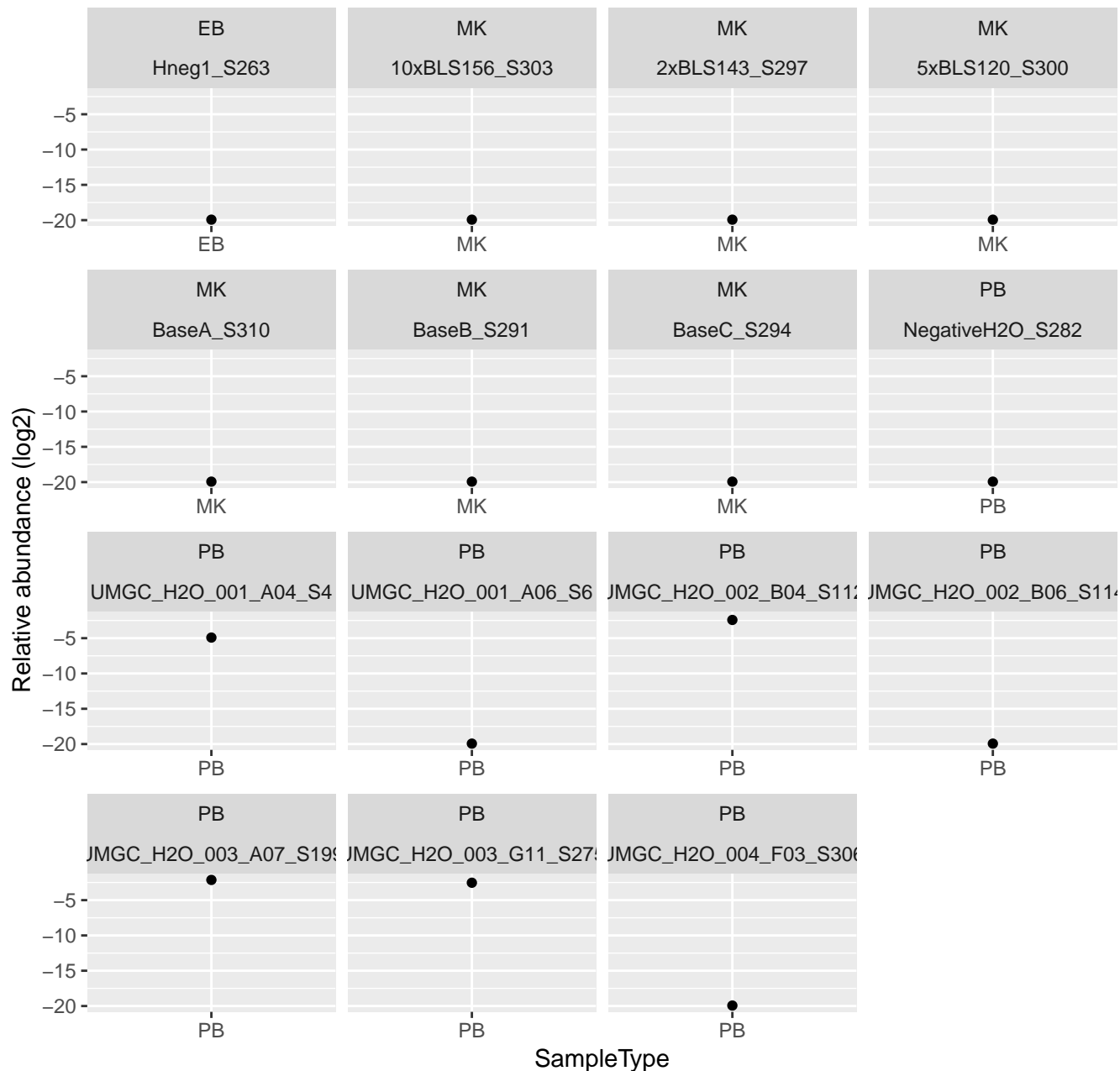
# ASV9101



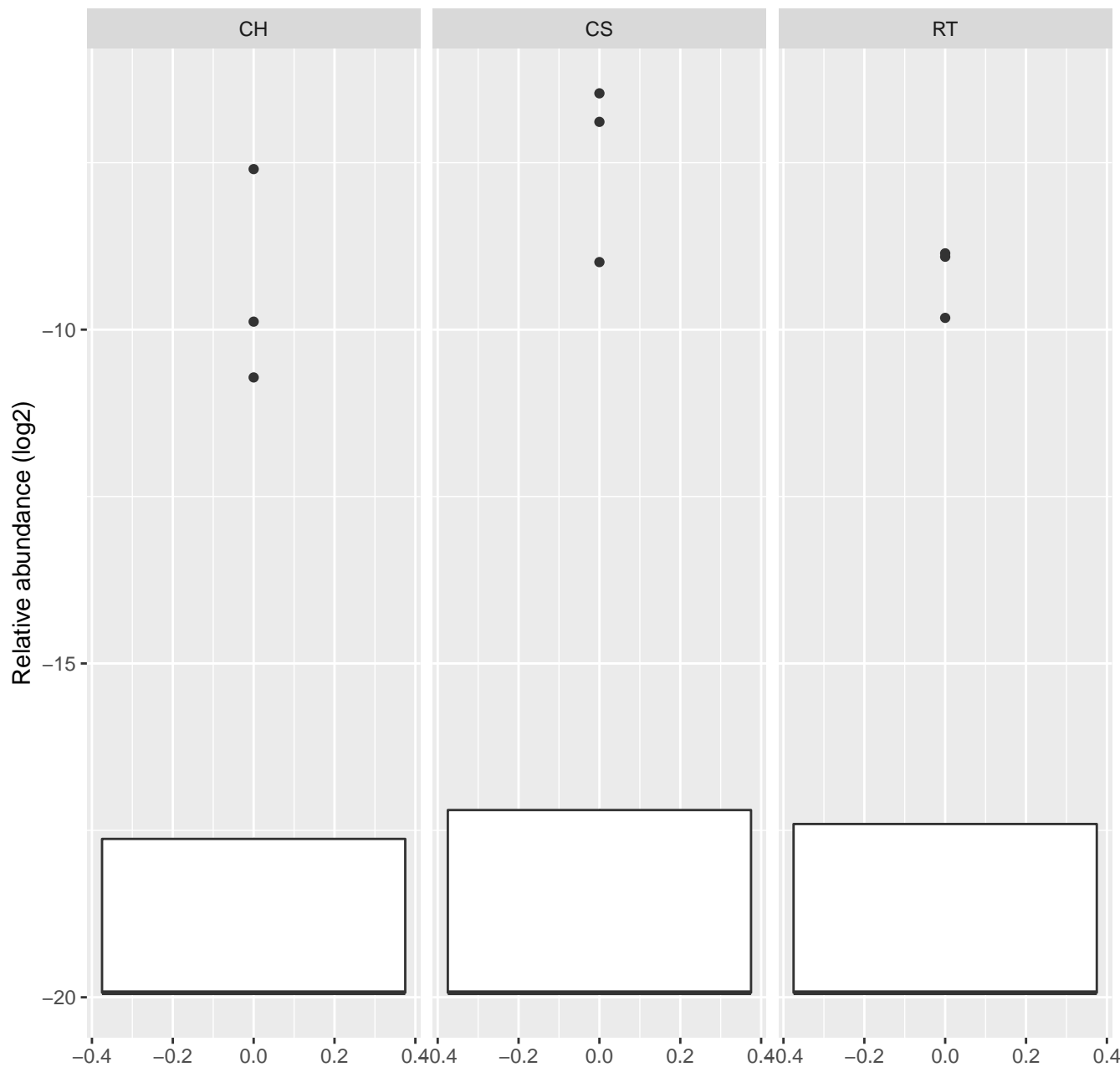
# ASV9101



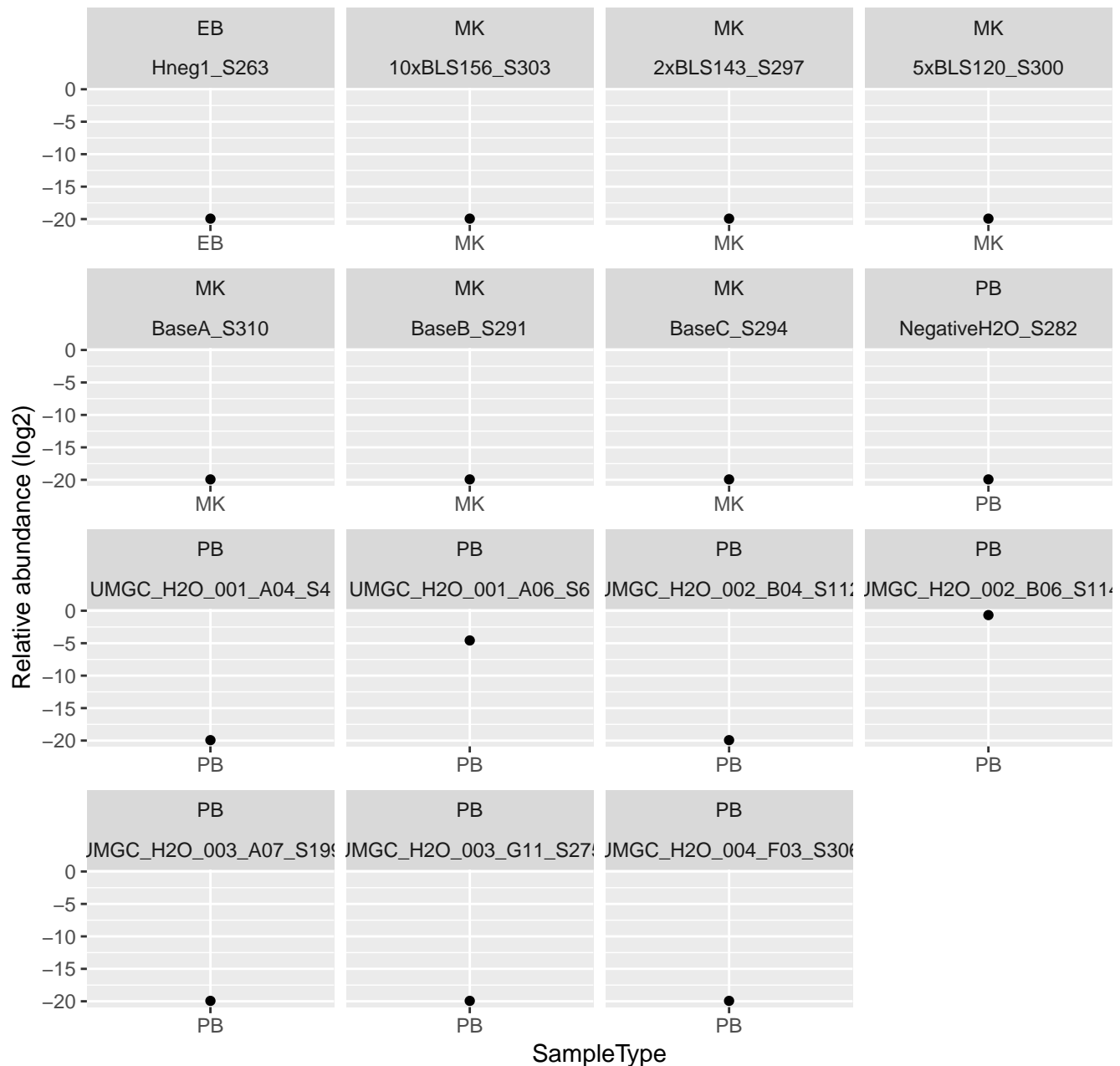
# ASV34



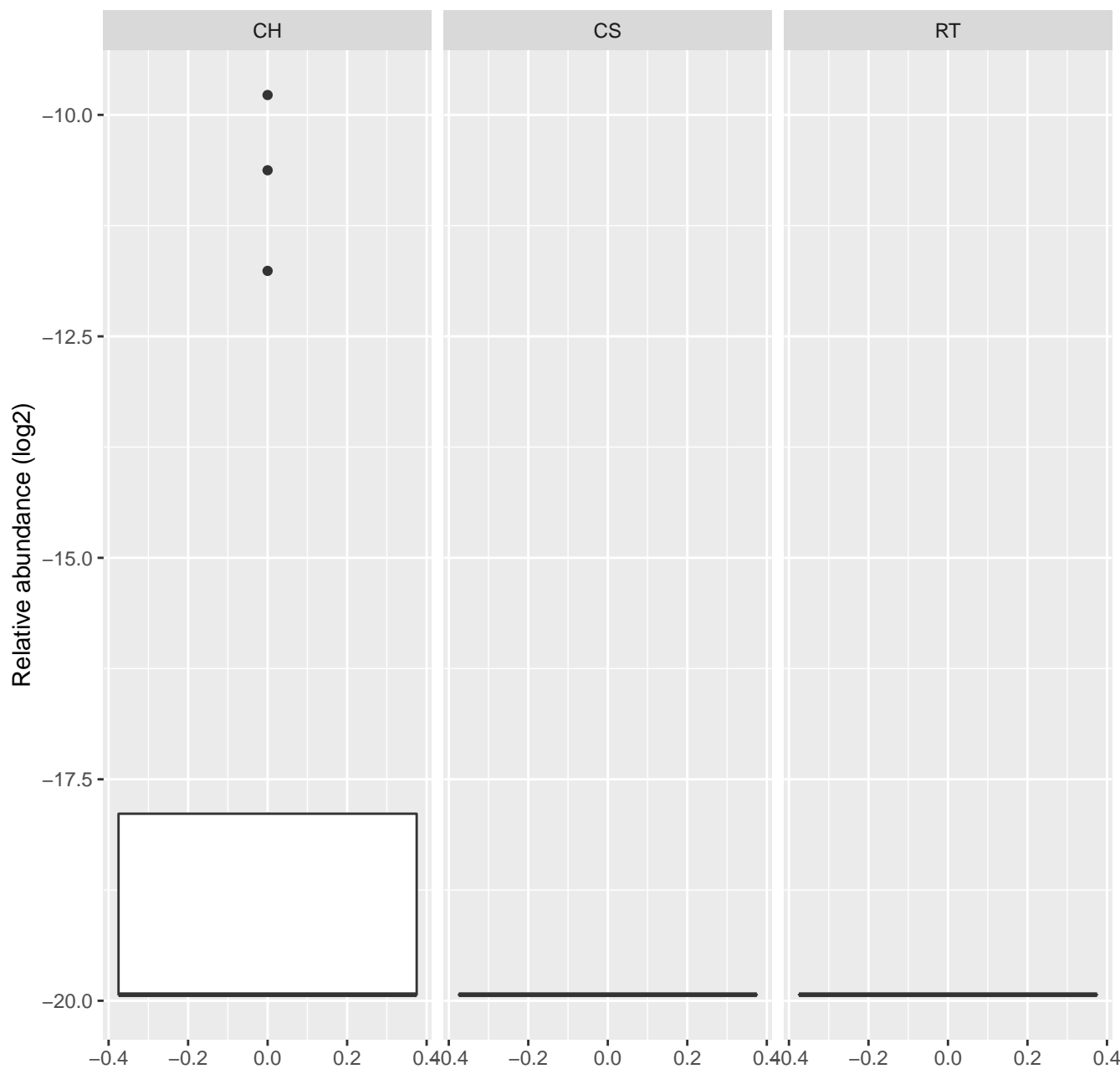
# ASV34



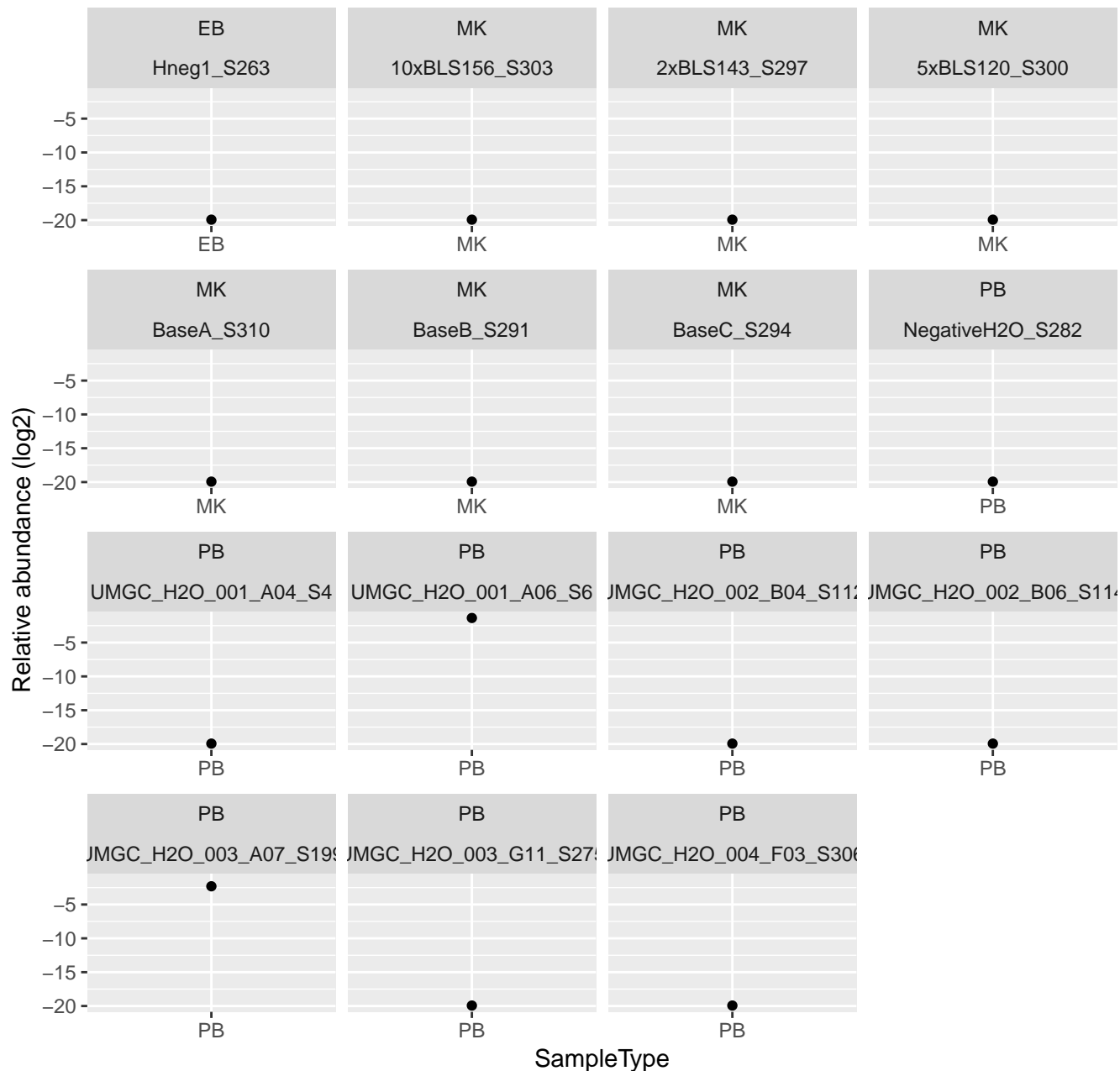
## ASV6987



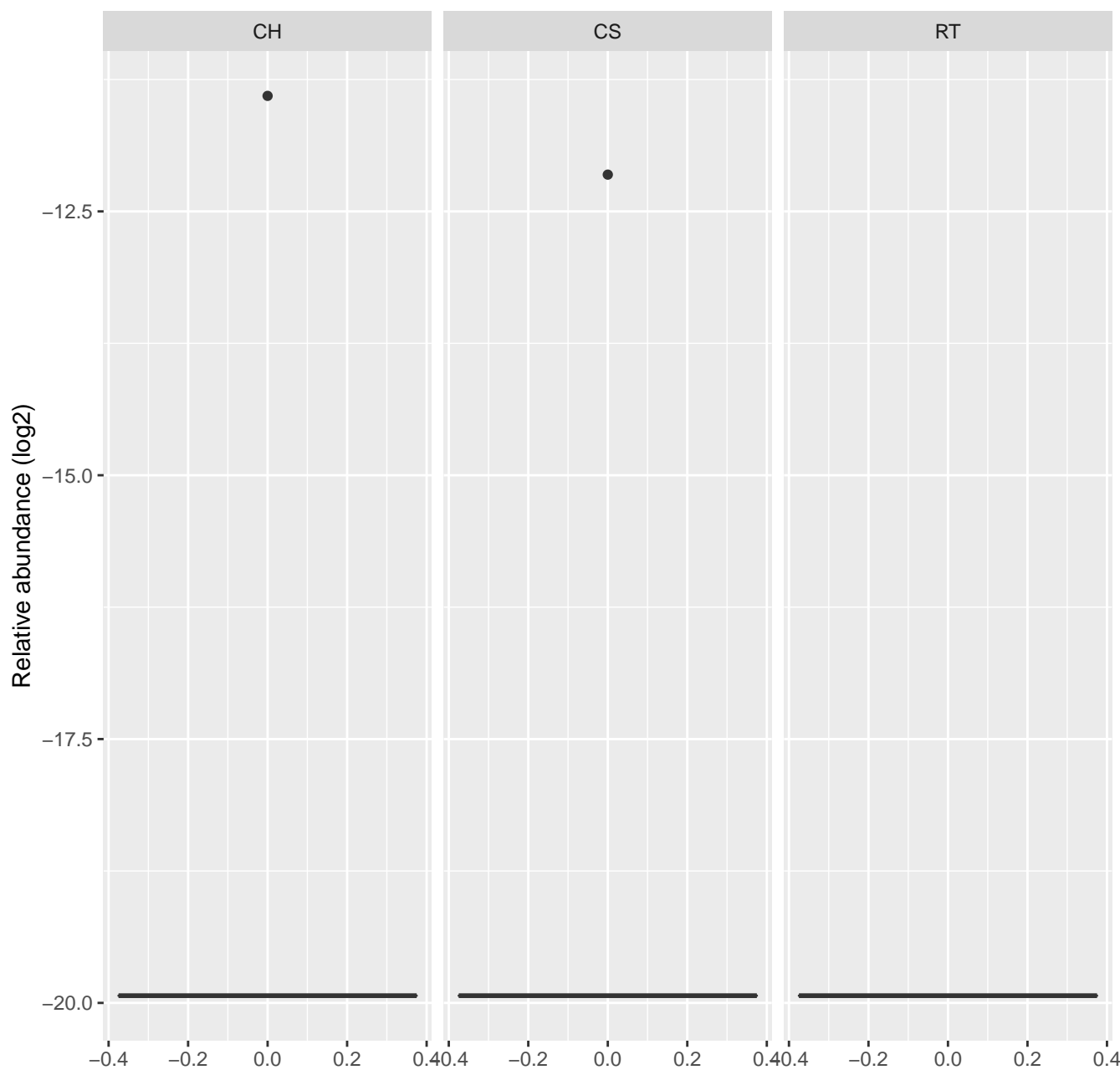
ASV6987



# ASV2180

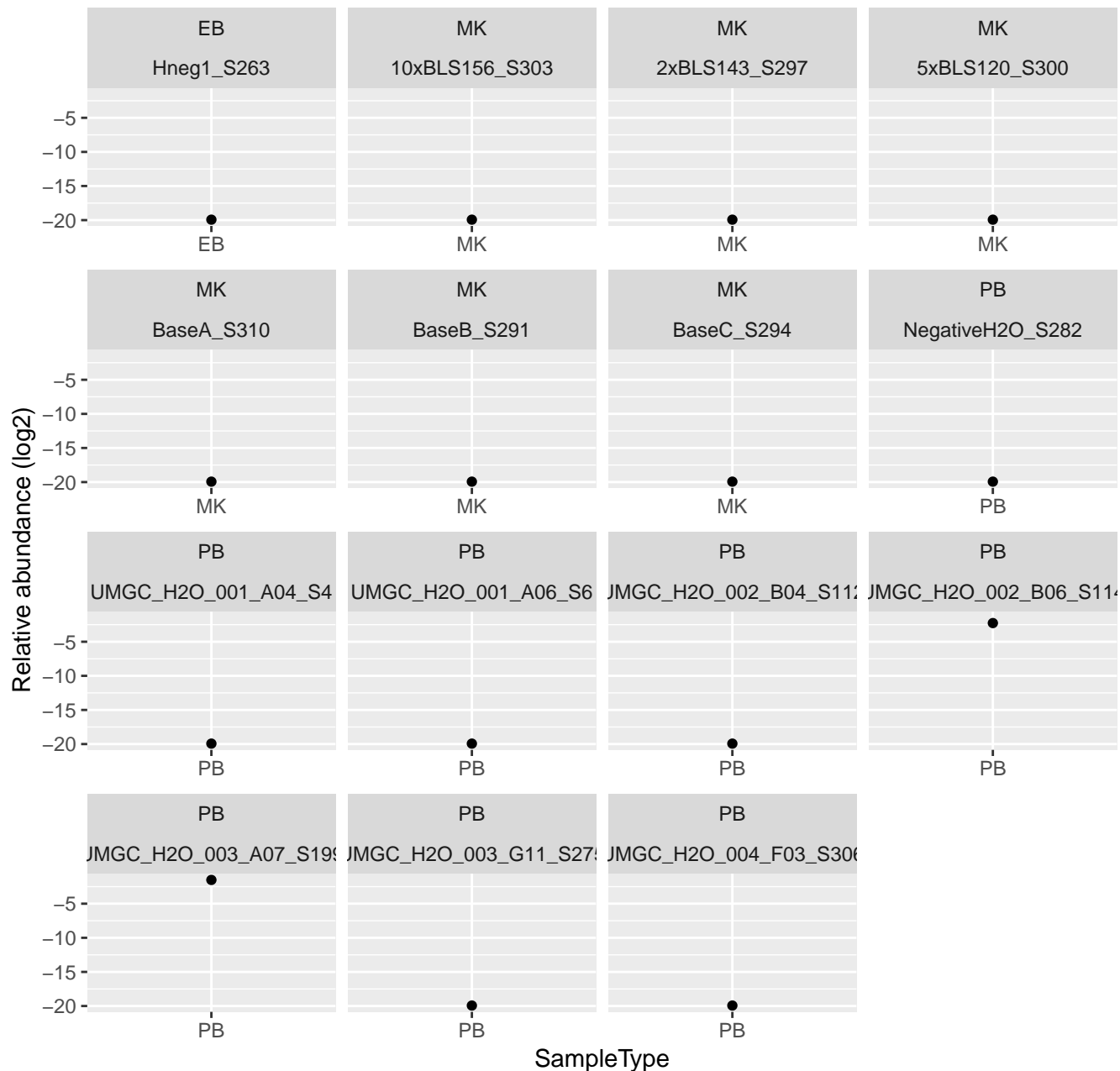


# ASV2180

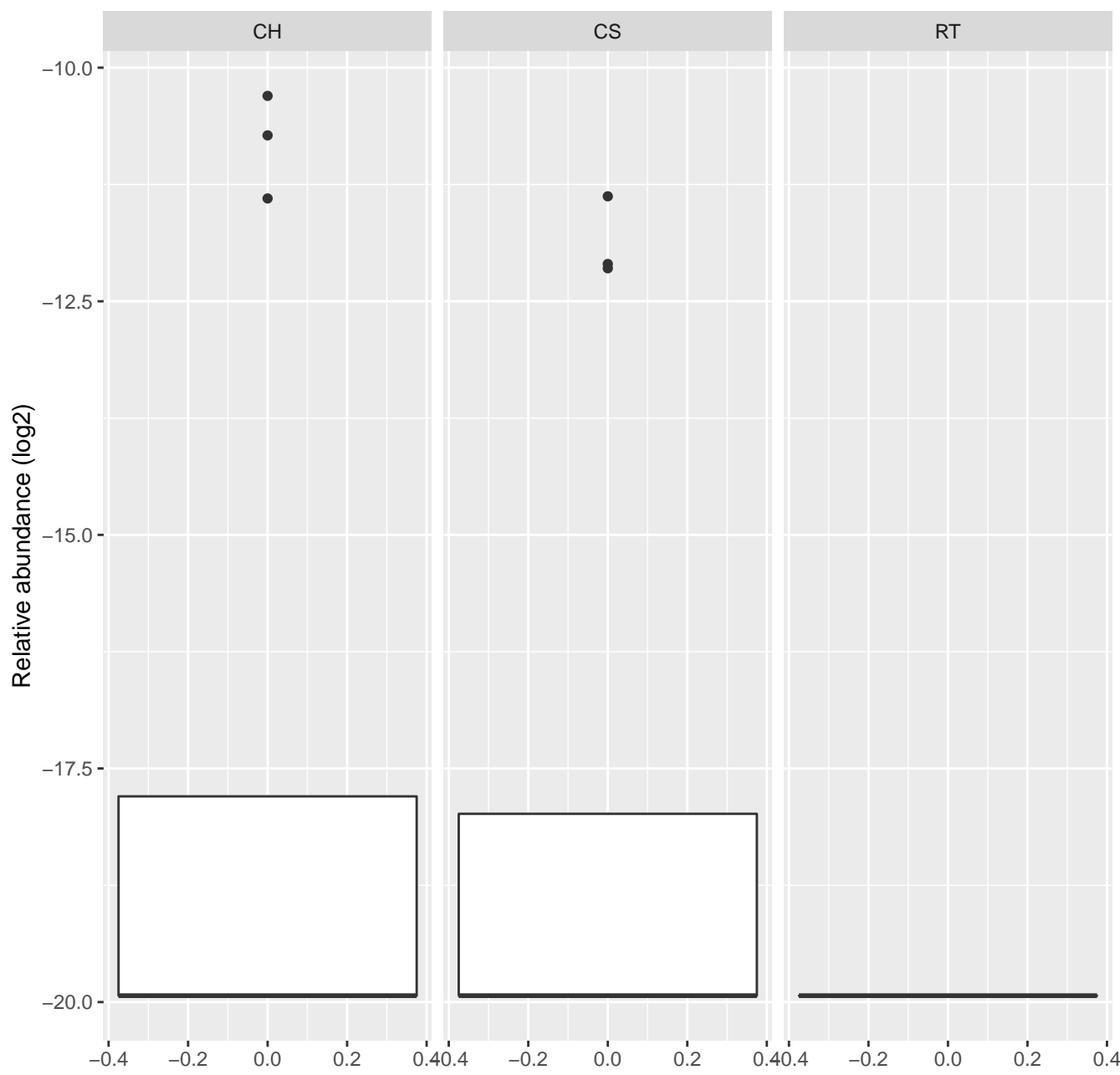




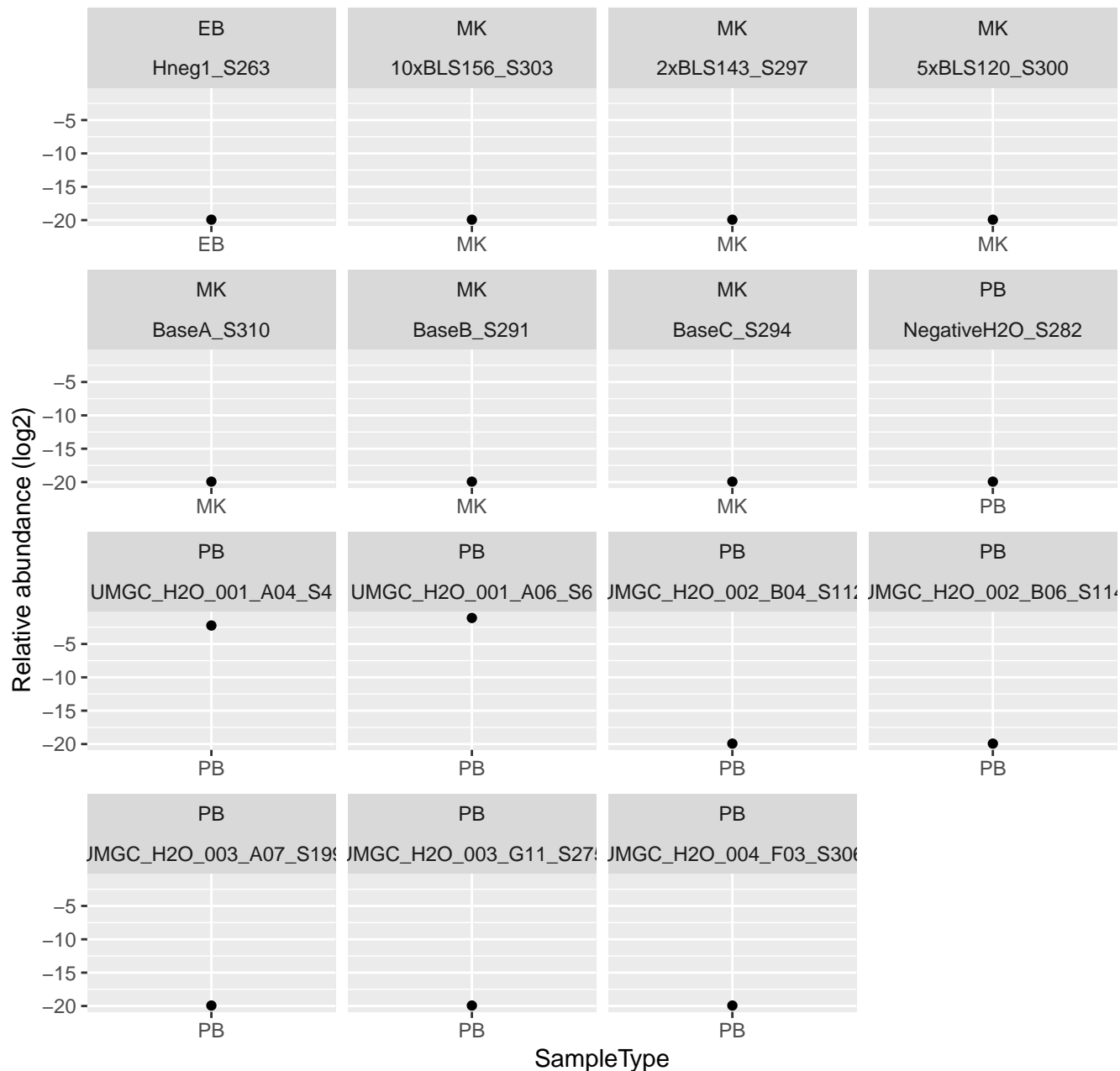
# ASV8061



ASV8061



# ASV4437



# ASV4437

